

Fig. 1.1:

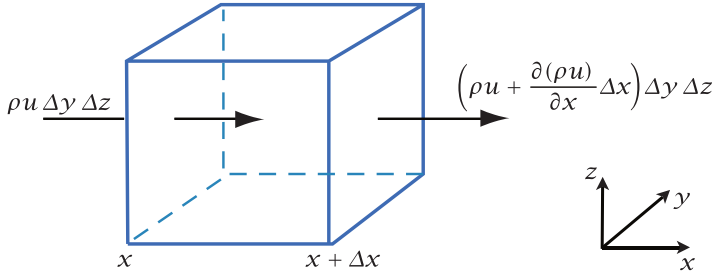


Fig. 2.1:

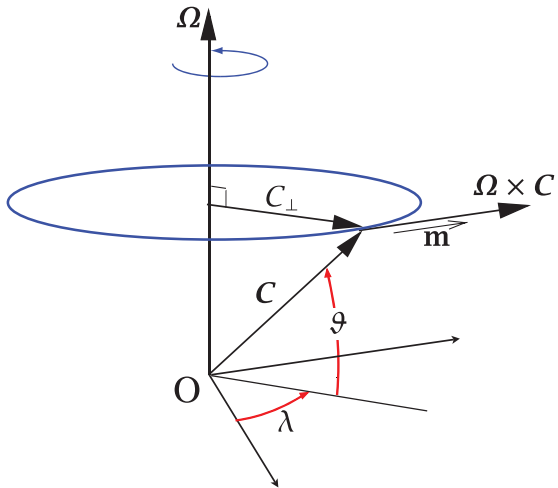
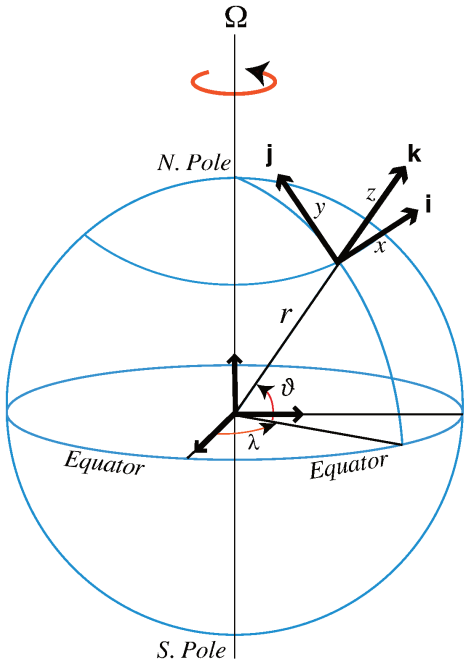


Fig. 2.2:



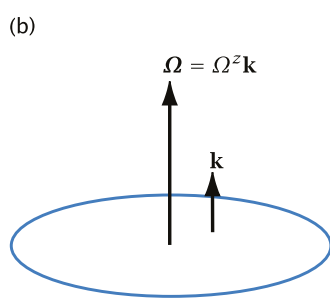
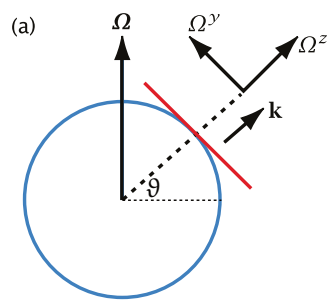


Fig. 2.3:

Fig. 3.1:

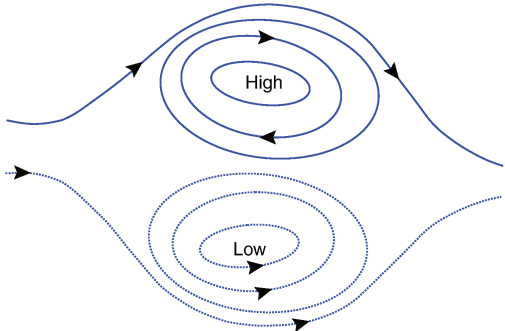


Fig. 4.1:

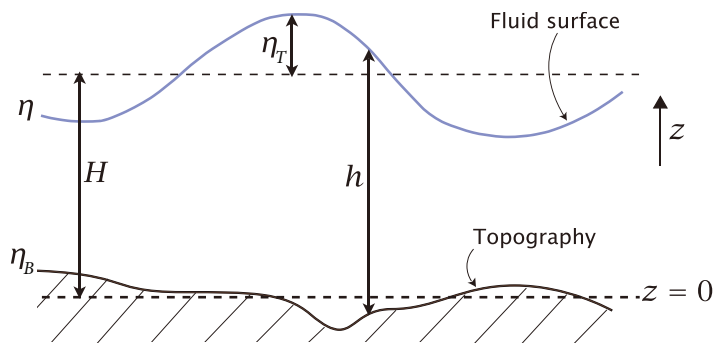


Fig. 4.2:

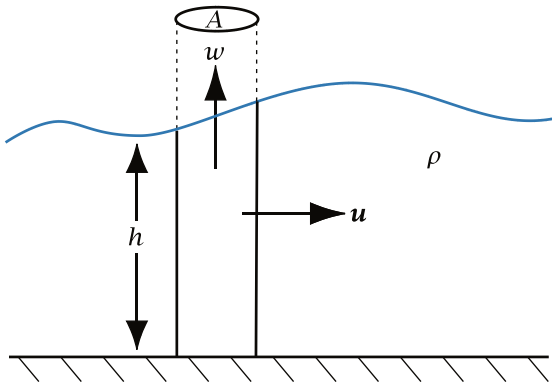


Fig. 4.3:

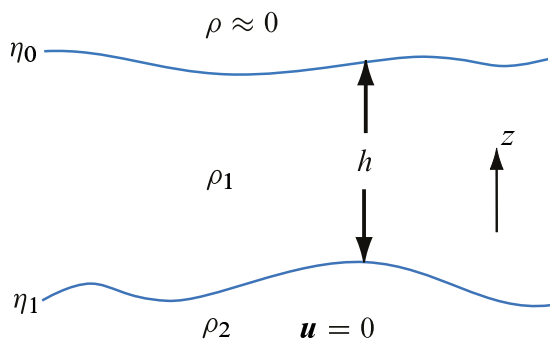
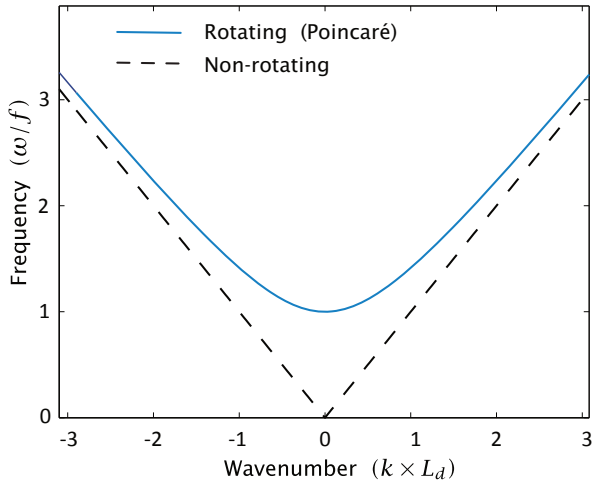


Fig. 4.4:



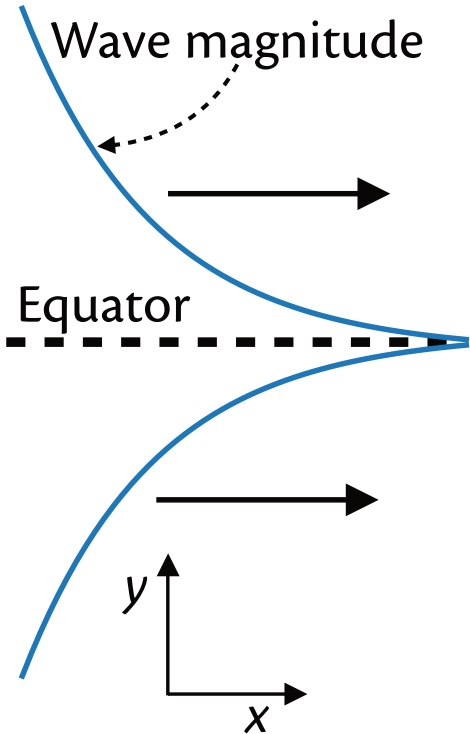


Fig. 4.5:

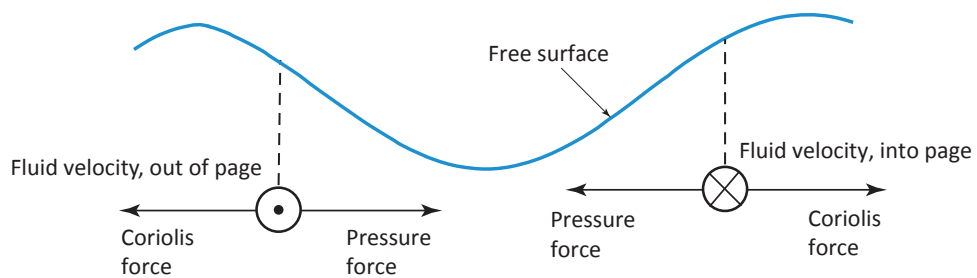


Fig. 4.6:

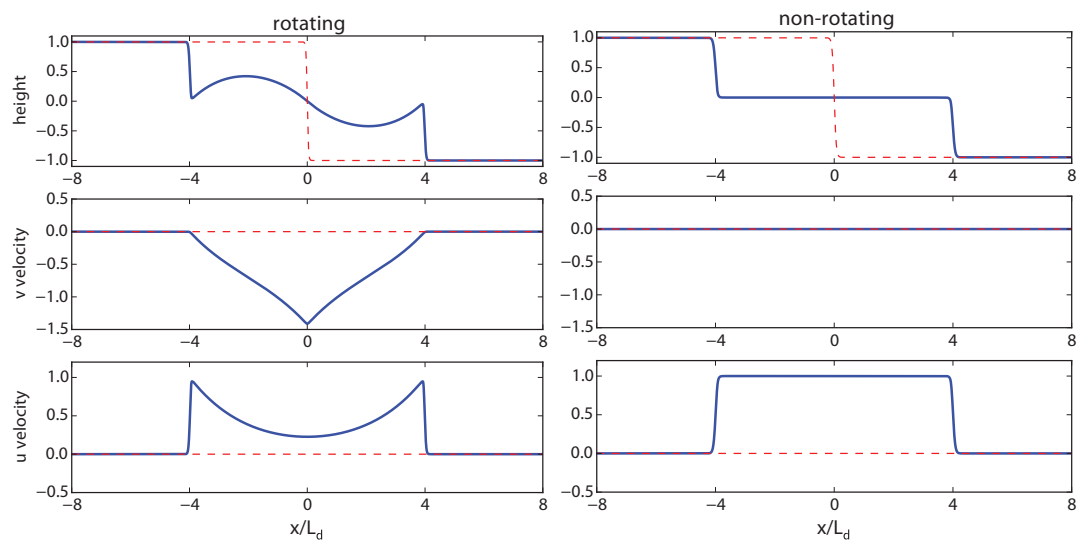


Fig. 4.7:

Fig. 4.8:

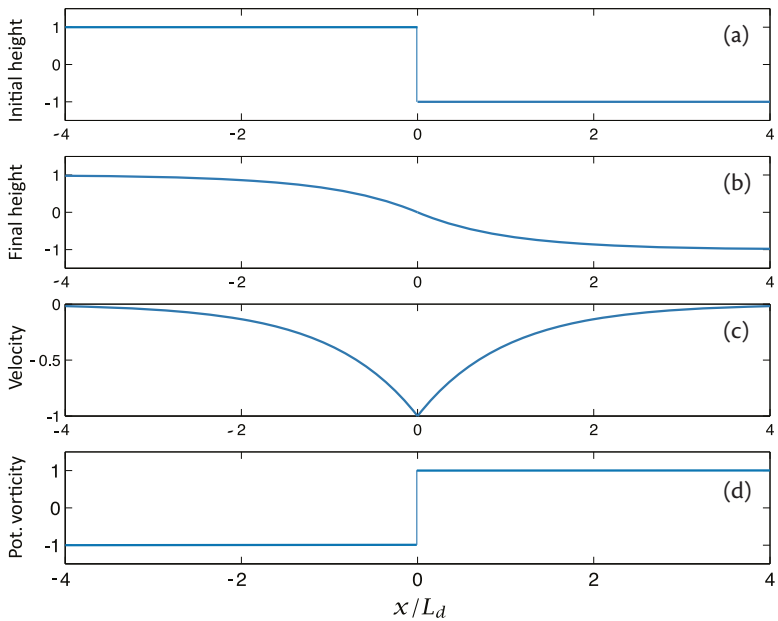
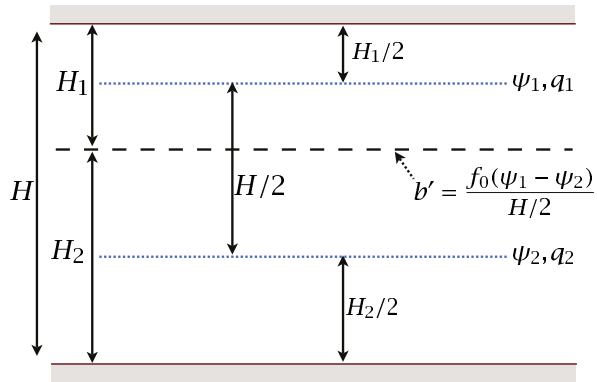


Fig. 5.1:



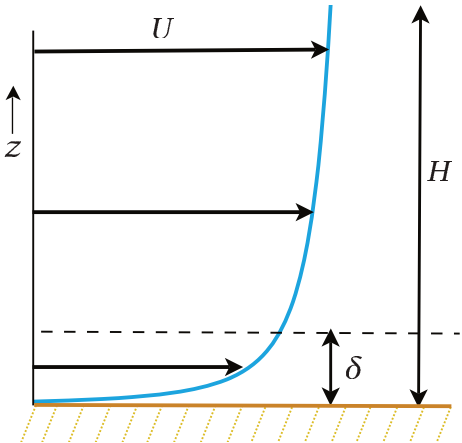


Fig. 5.2:

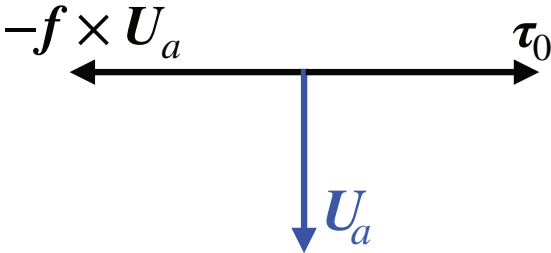


Fig. 5.3:

Fig. 6.1:

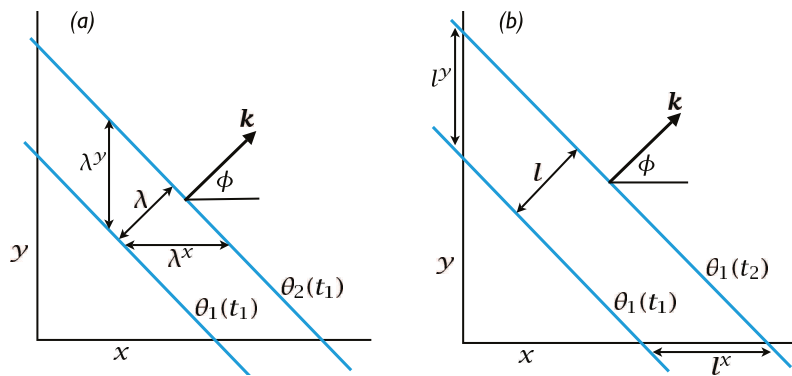


Fig. 6.2:

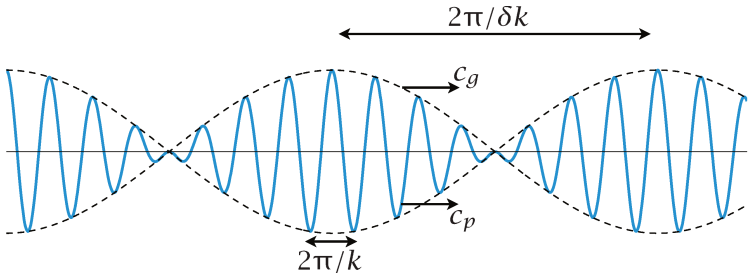


Fig. 6.3:

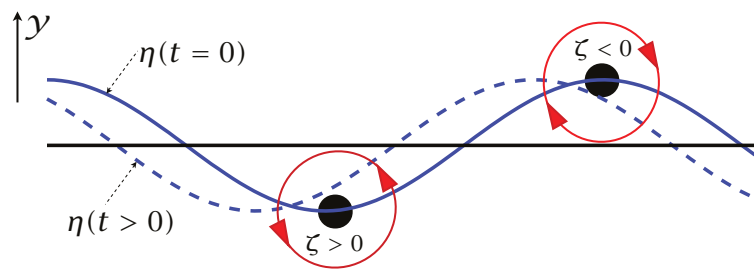


Fig. 6.4:

Phase propagation

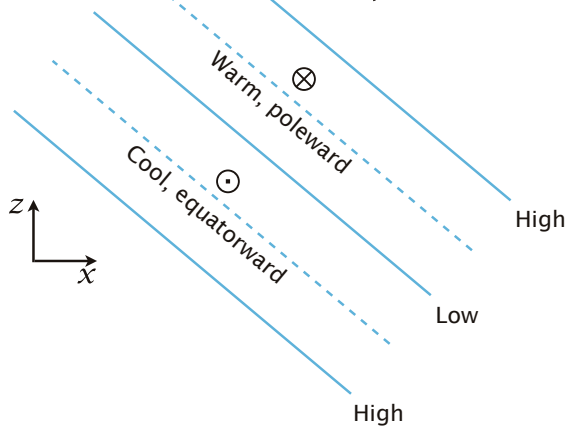
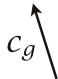


Fig. 6.5:

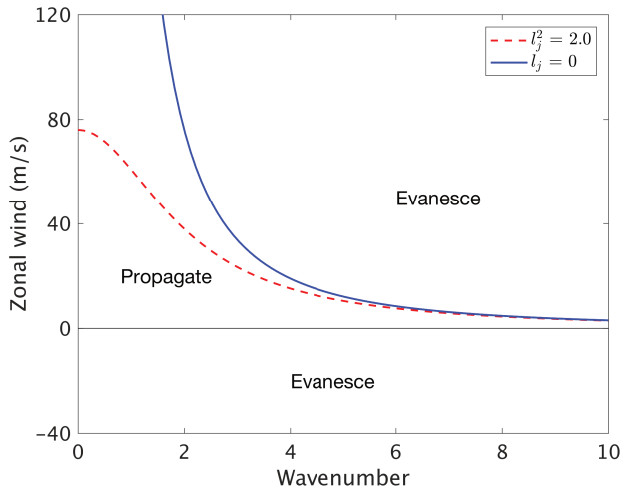


Fig. 6.6:

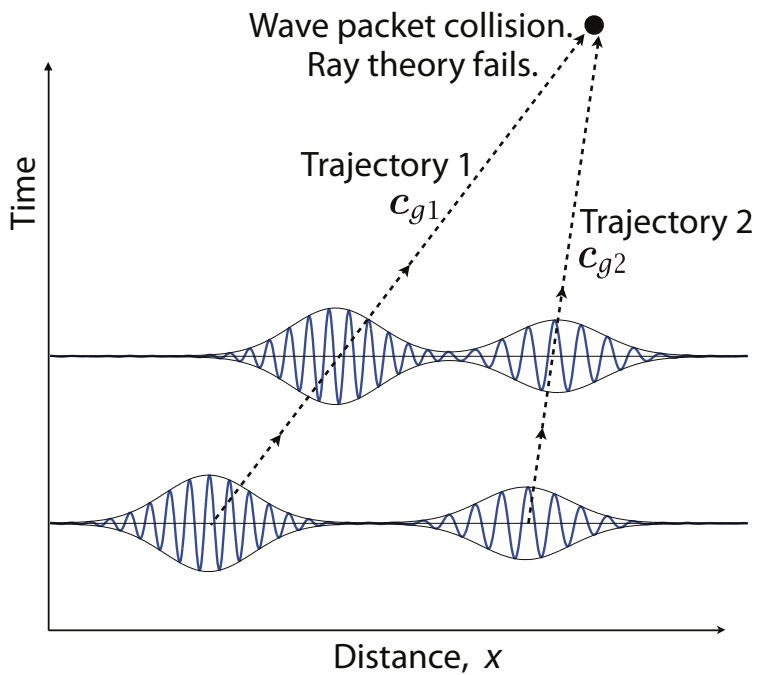


Fig. 7.1:

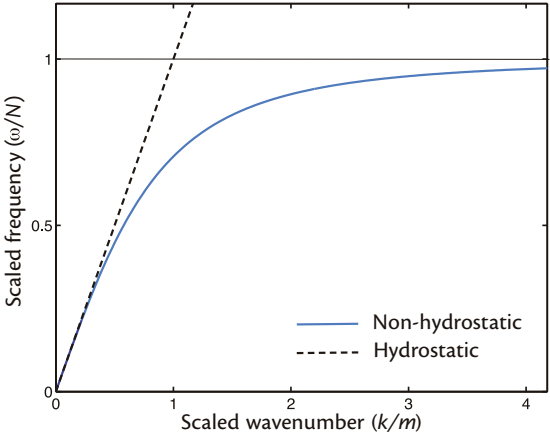


Fig. 7.2:

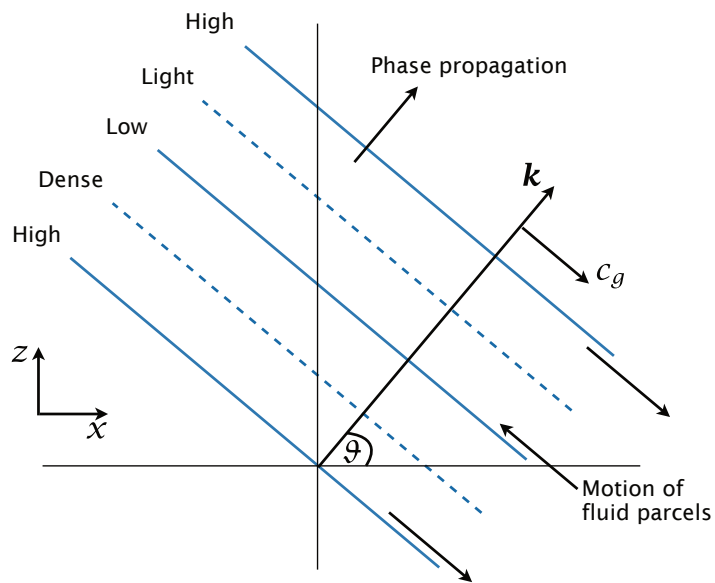


Fig. 7.3:

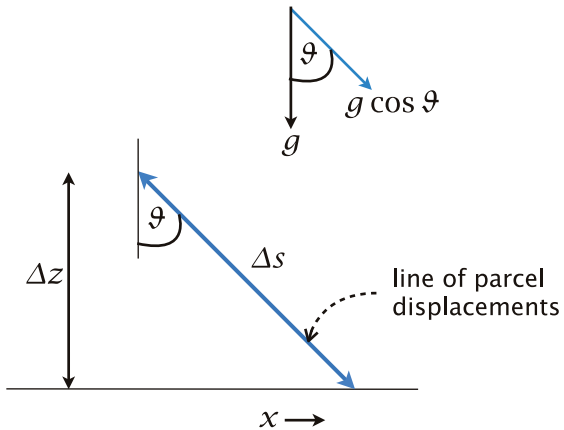


Fig. 7.4:

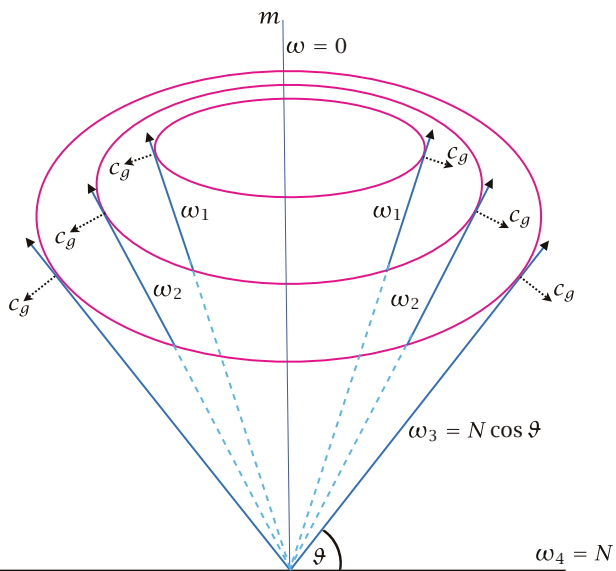


Fig. 7.5:

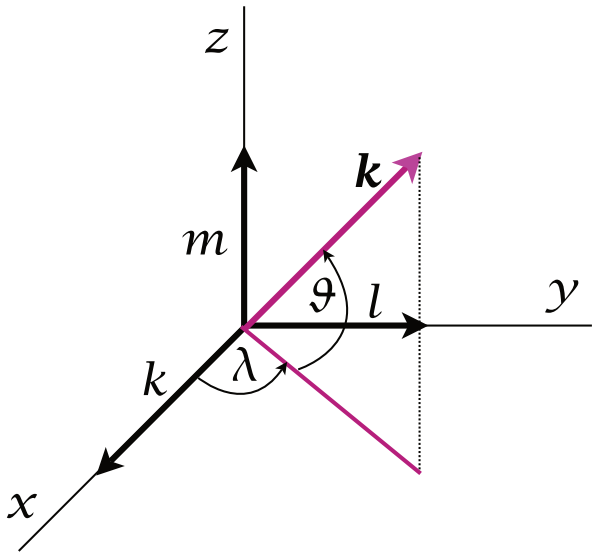


Fig. 7.6:

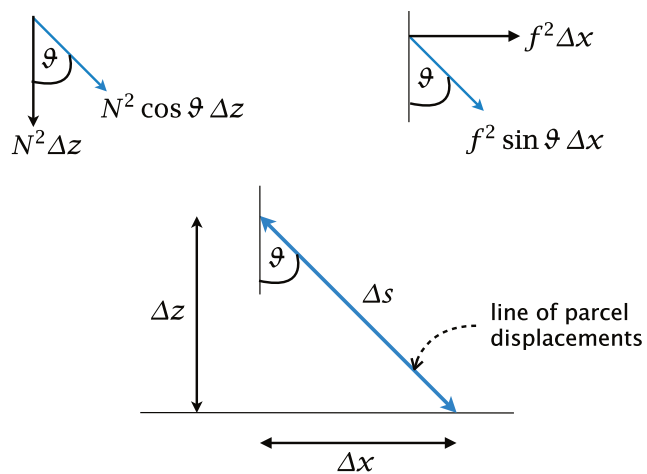


Fig. 7.7:

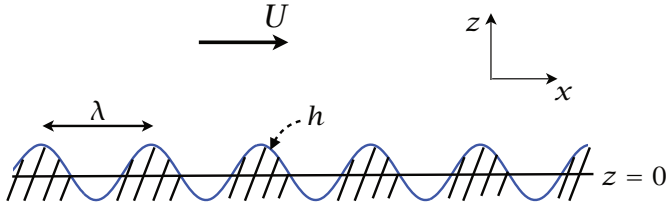


Fig. 7.8:

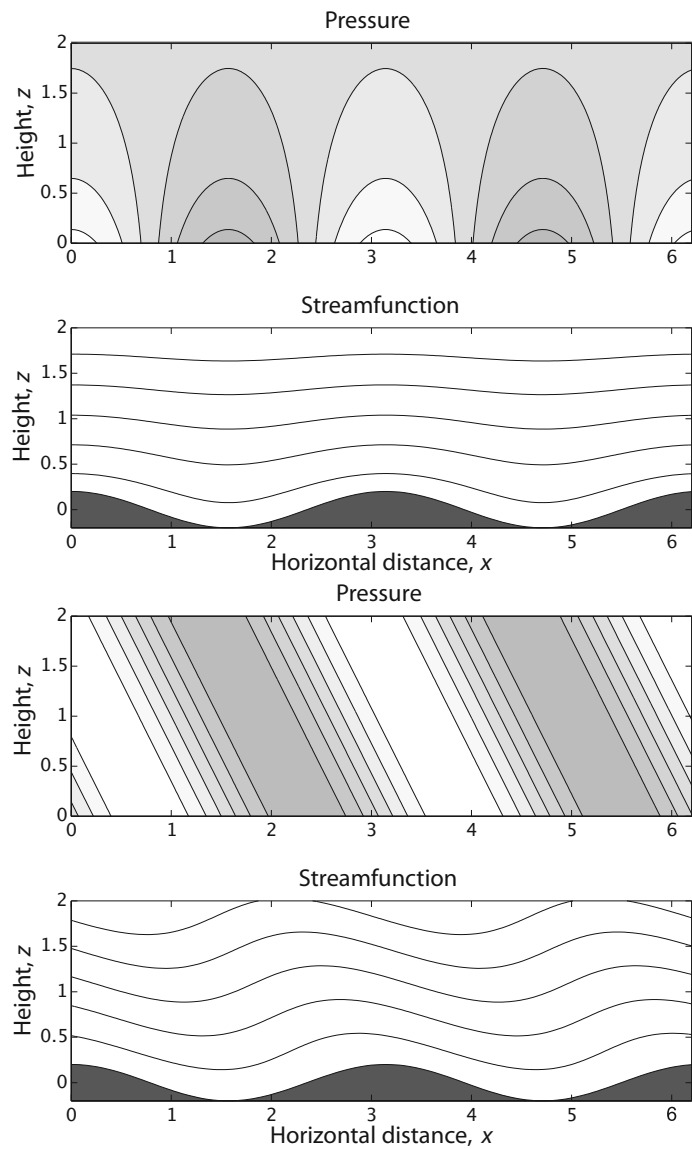
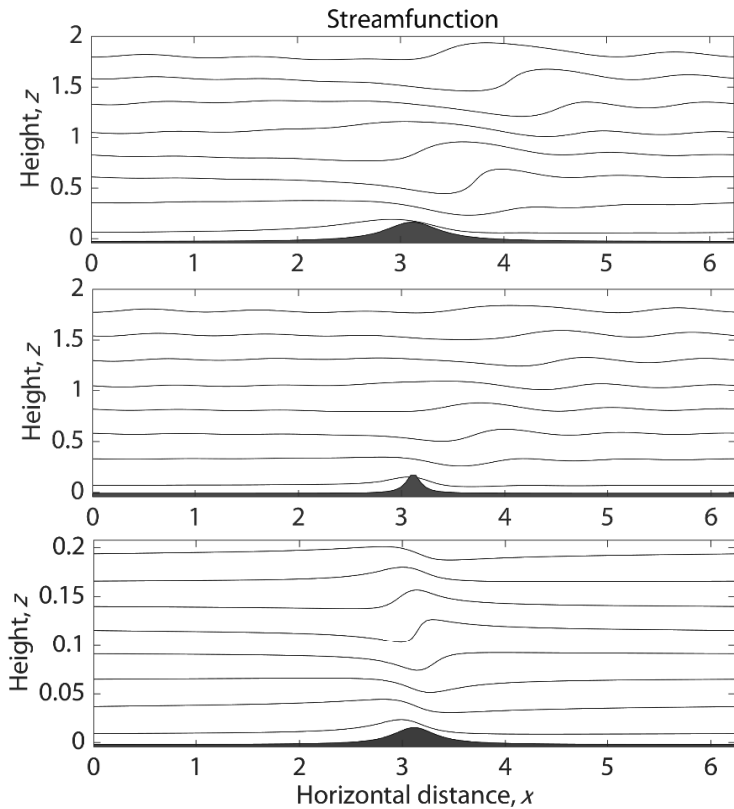


Fig. 7.9:



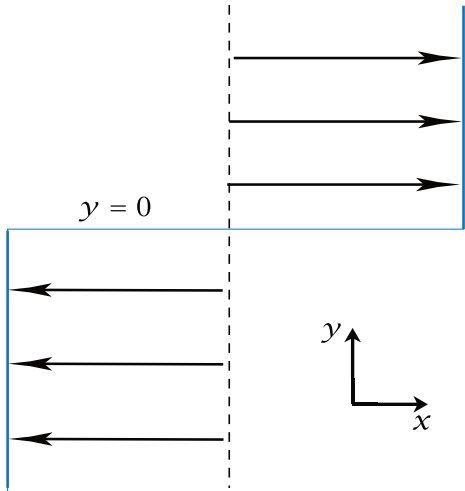


Fig. 8.1:

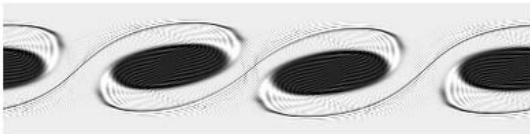


Fig. 8.2:

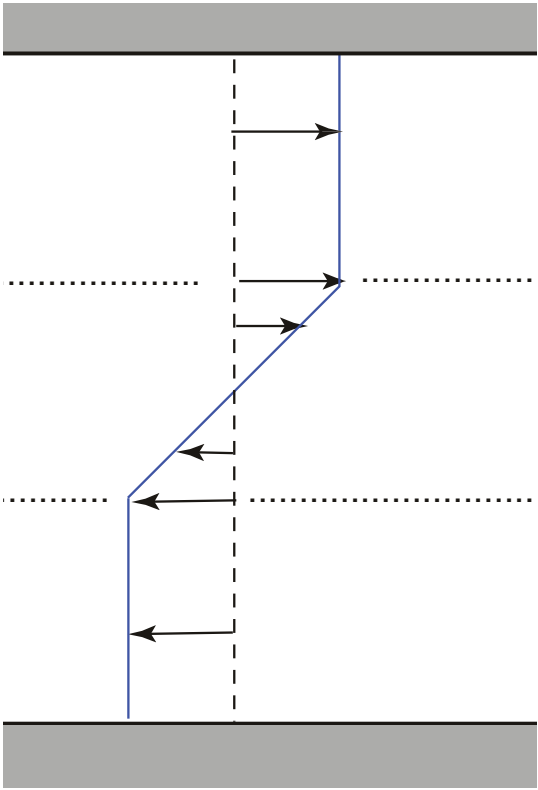


Fig. 8.3:

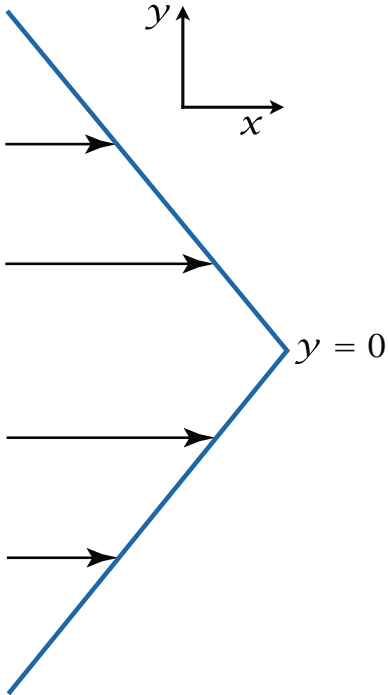


Fig. 8.4:

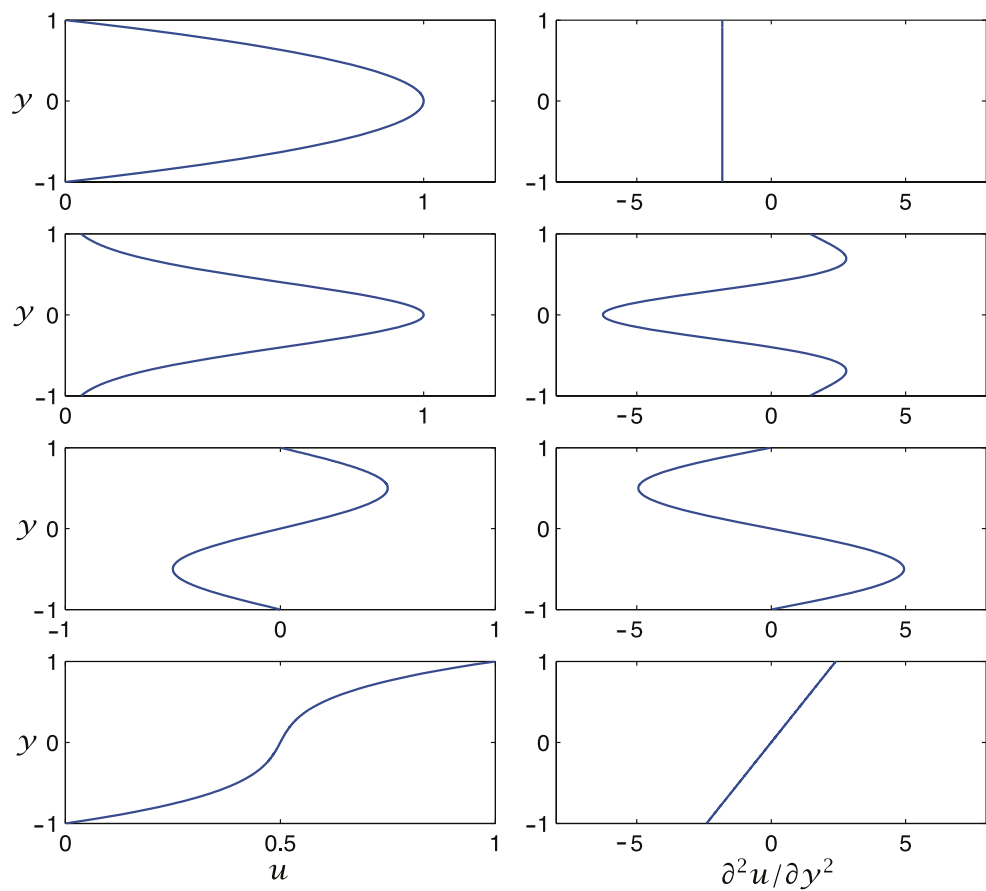


Fig. 8.5:

Fig. 8.6:

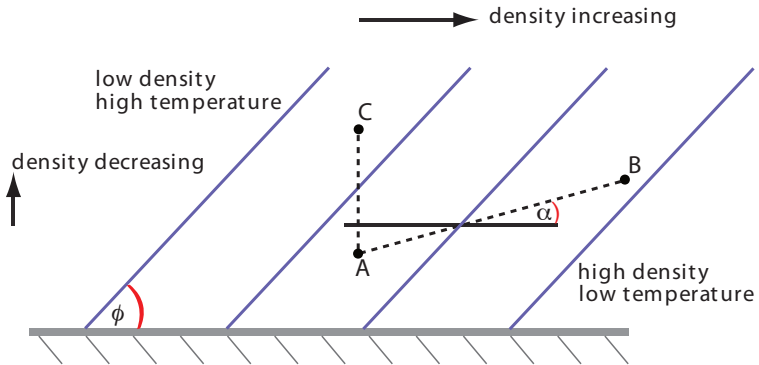


Fig. 8.7:

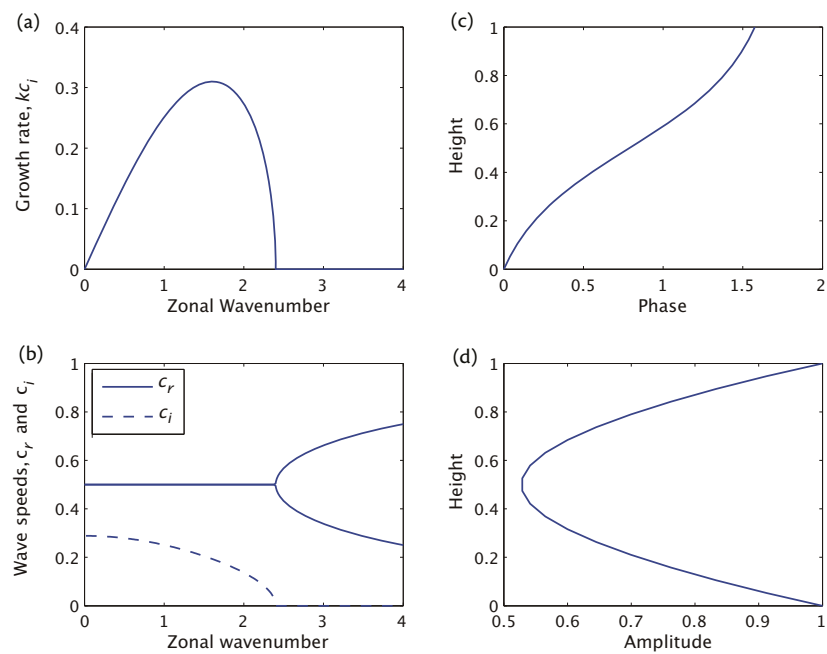
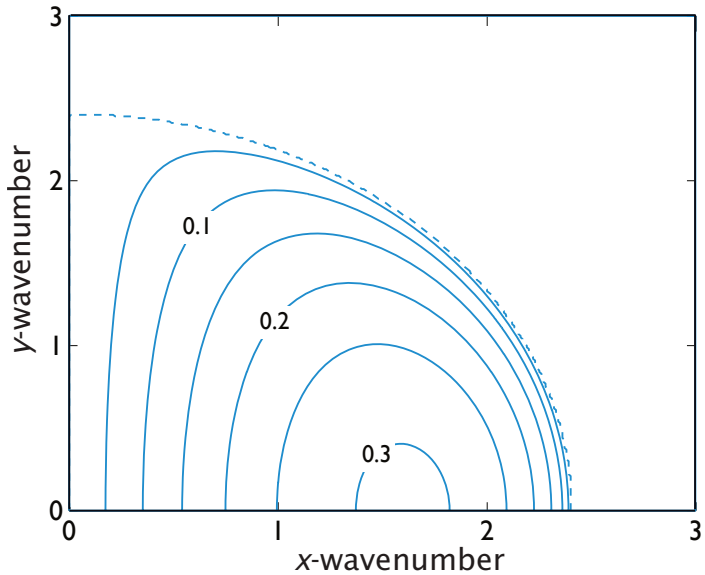


Fig. 8.8:



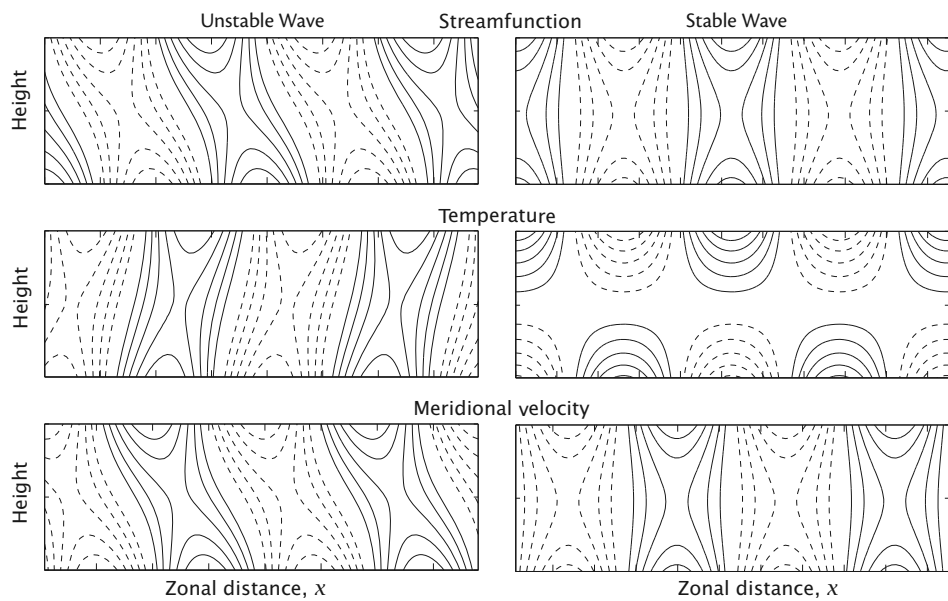


Fig. 8.9:

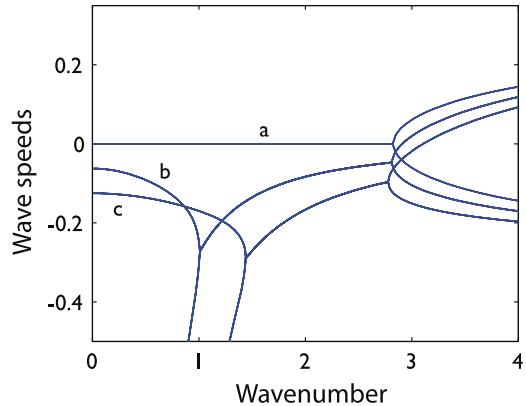
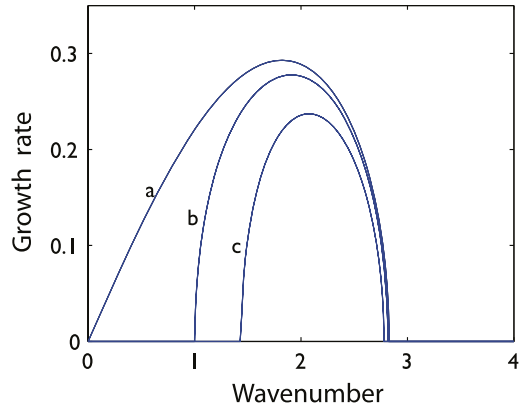


Fig. 8.10:

Fig. 8.11:

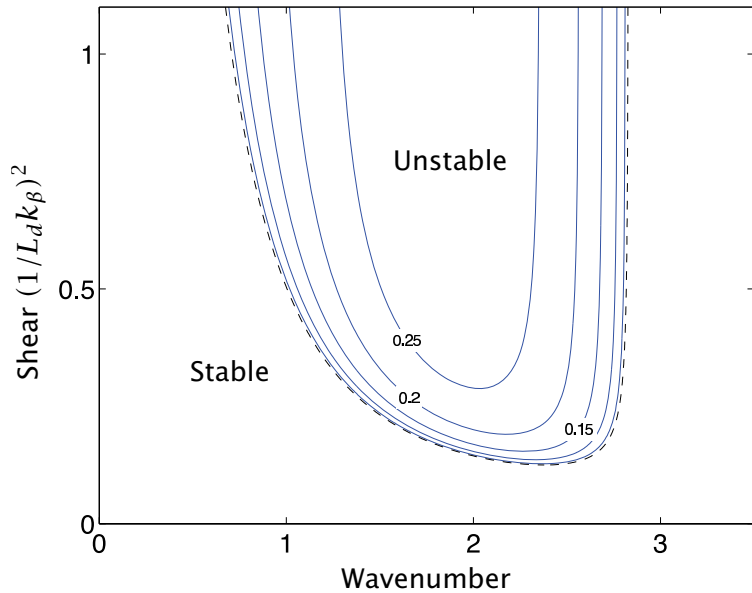


Fig. 8.12:

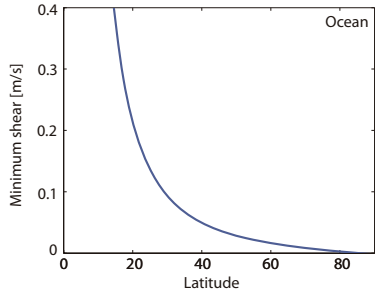
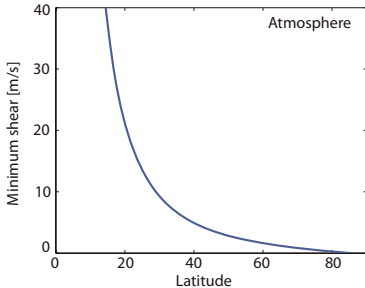


Fig. 10.1:



Fig. 10.2:

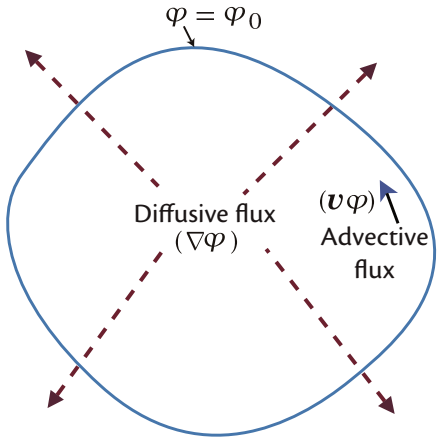


Fig. 10.3:

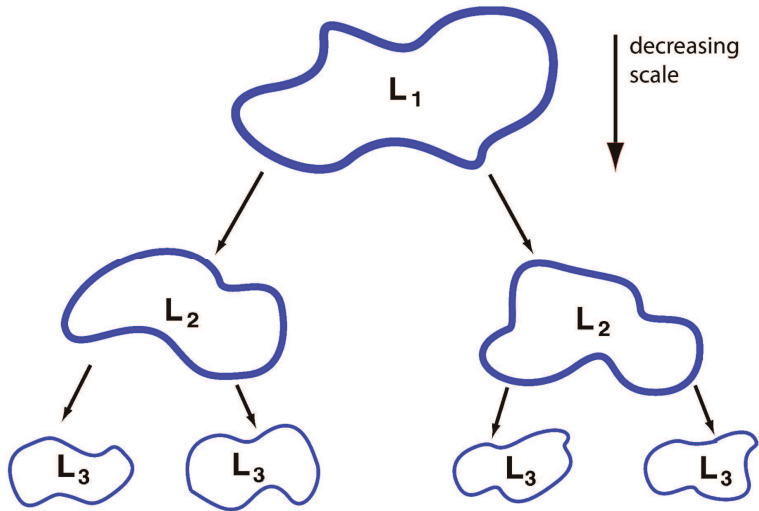


Fig. 10.4:

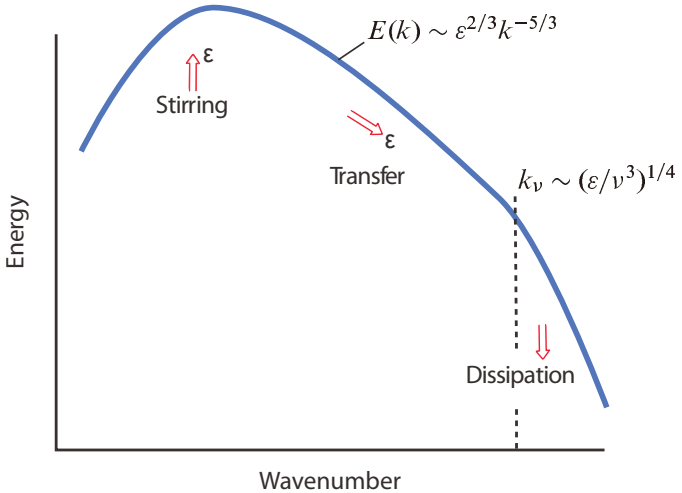


Fig. 10.5:

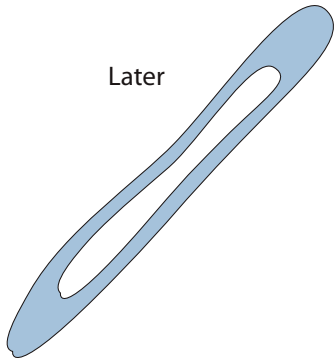
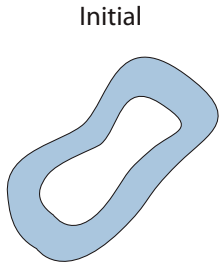


Fig. 10.6:

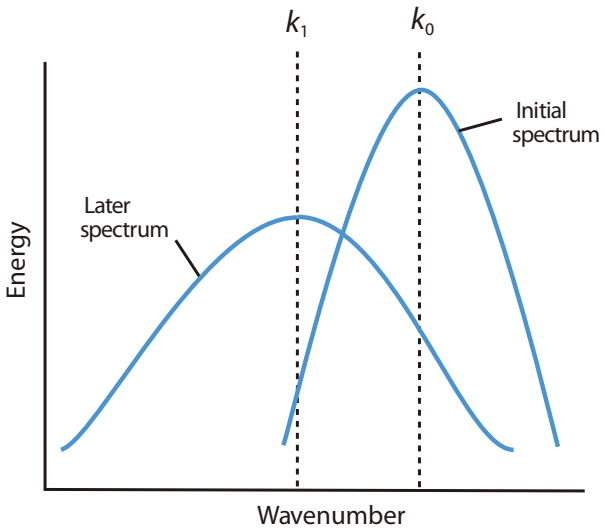
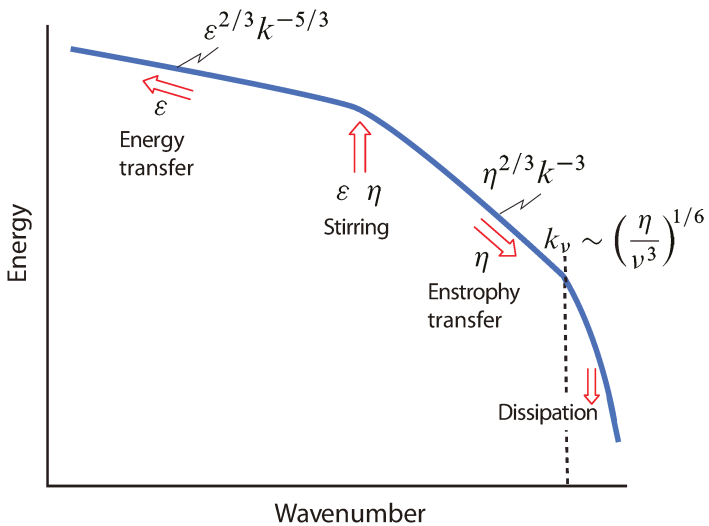


Fig. 10.7:



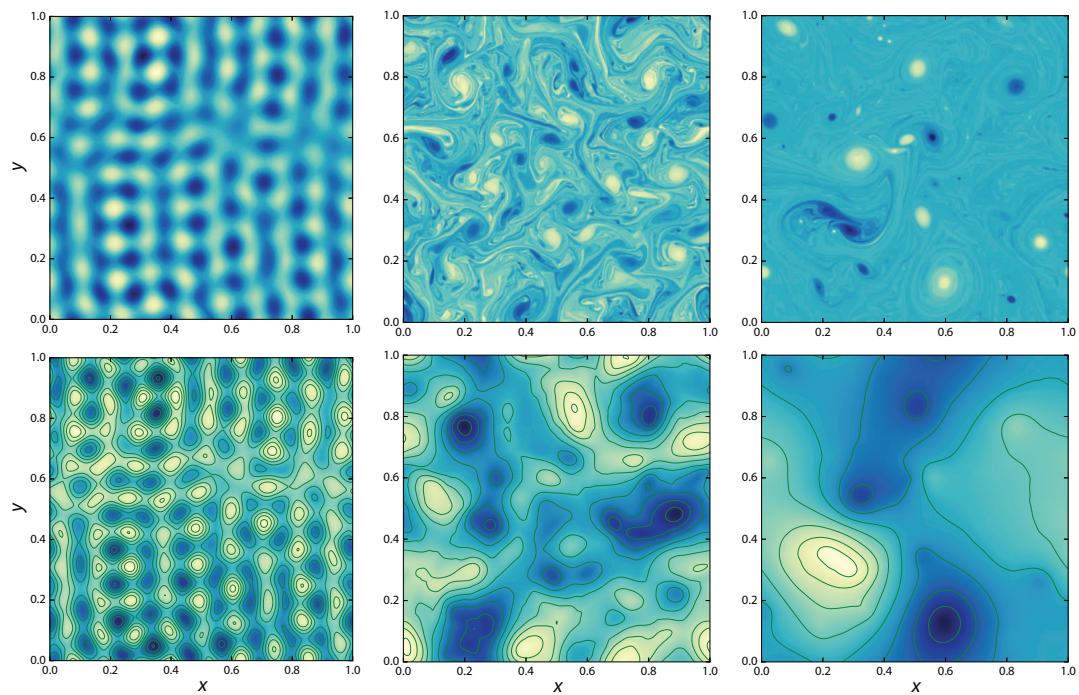


Fig. 10.8:

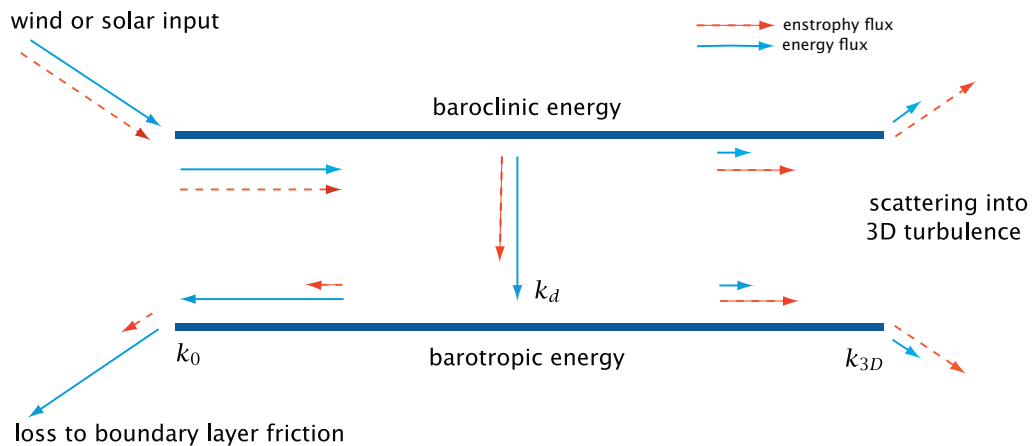
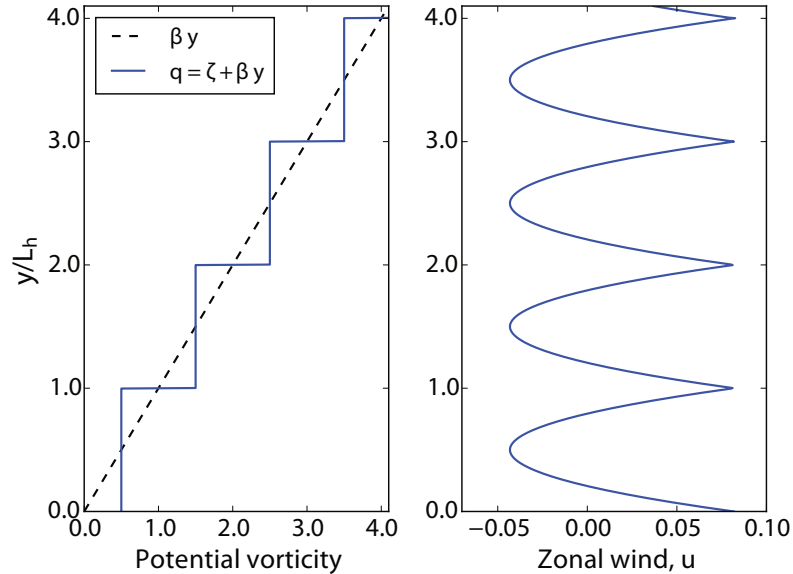


Fig. 10.9:

Fig. 10.10:



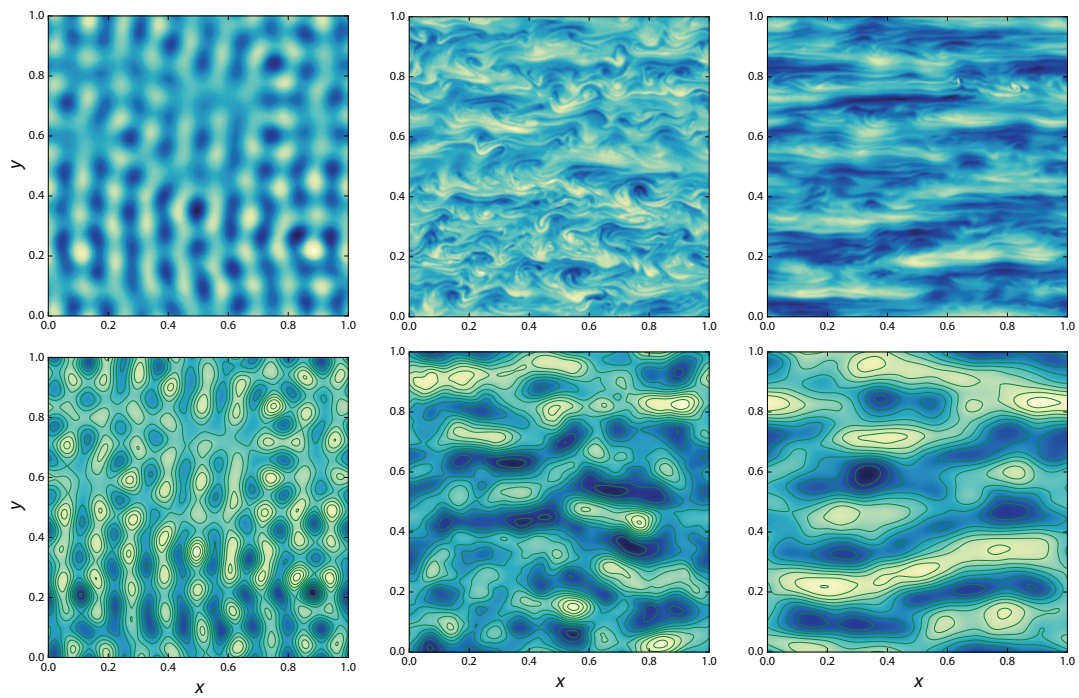
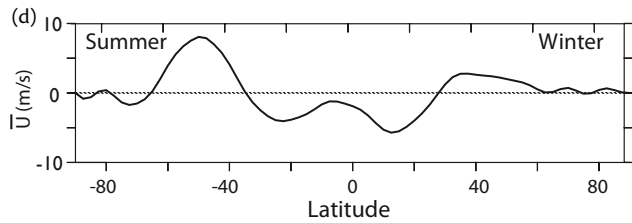
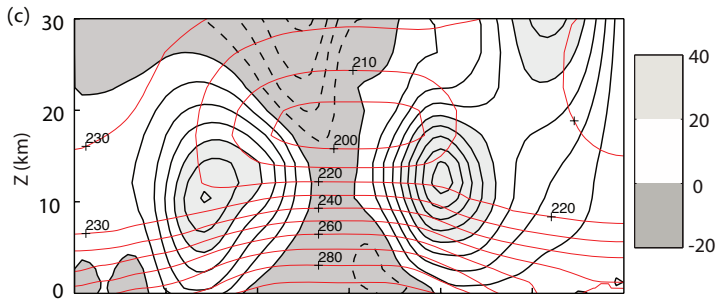
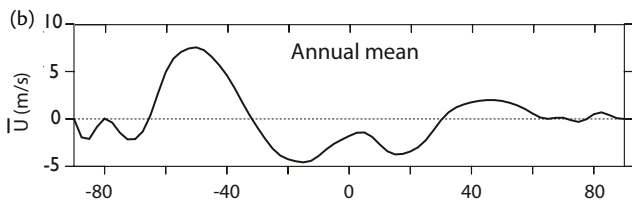
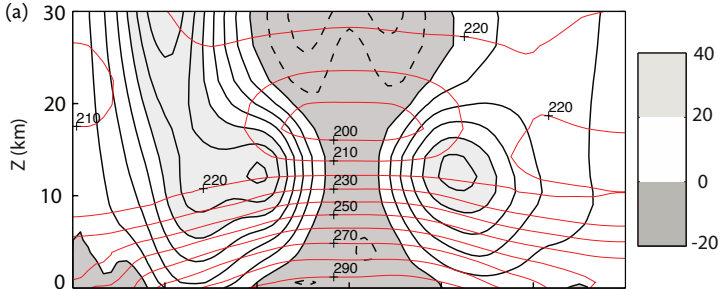


Fig. 10.11:

Fig. 11.1:



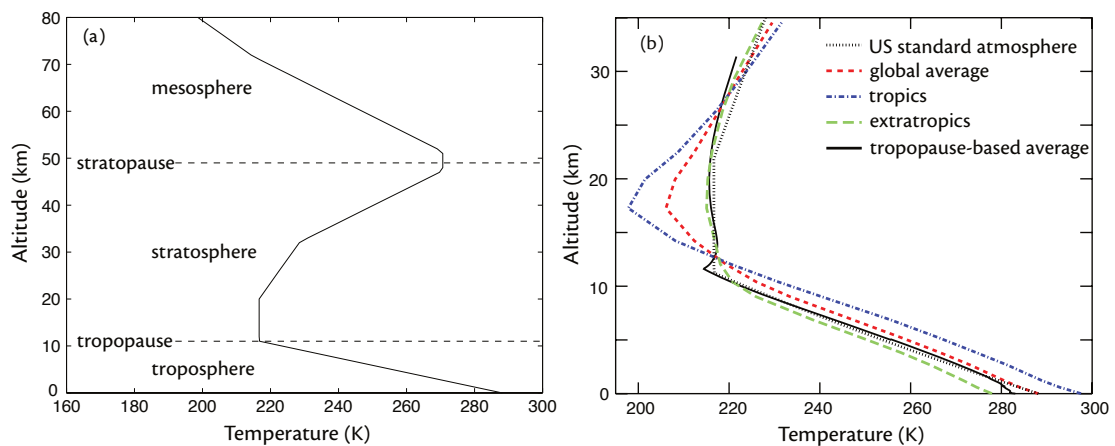


Fig. 11.2:

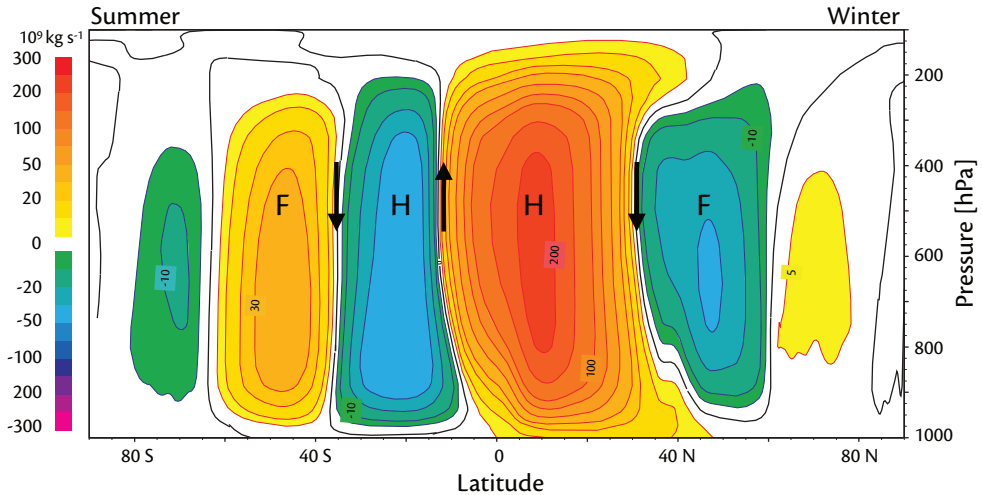


Fig. 11.3:

Fig. 11.4:

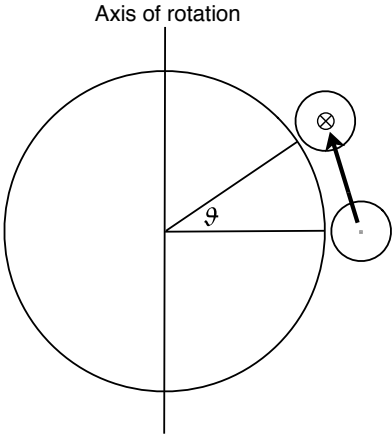


Fig. 11.5:

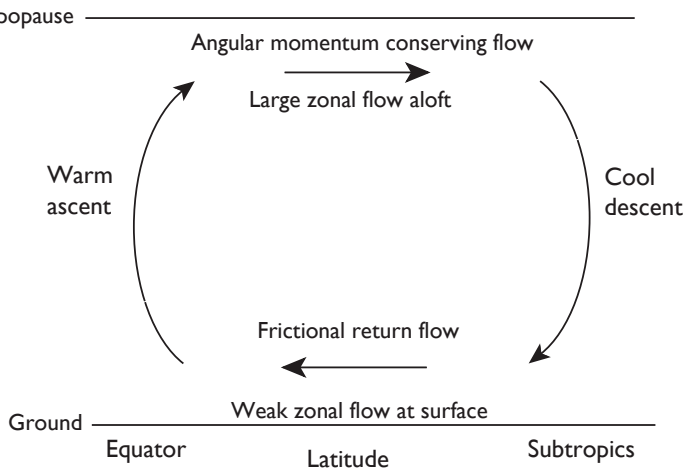


Fig. 11.6:

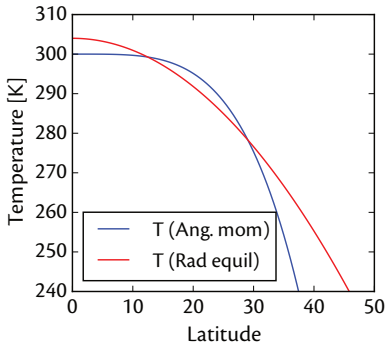
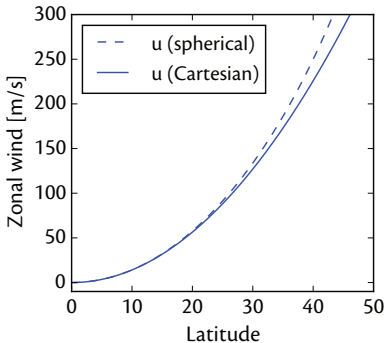
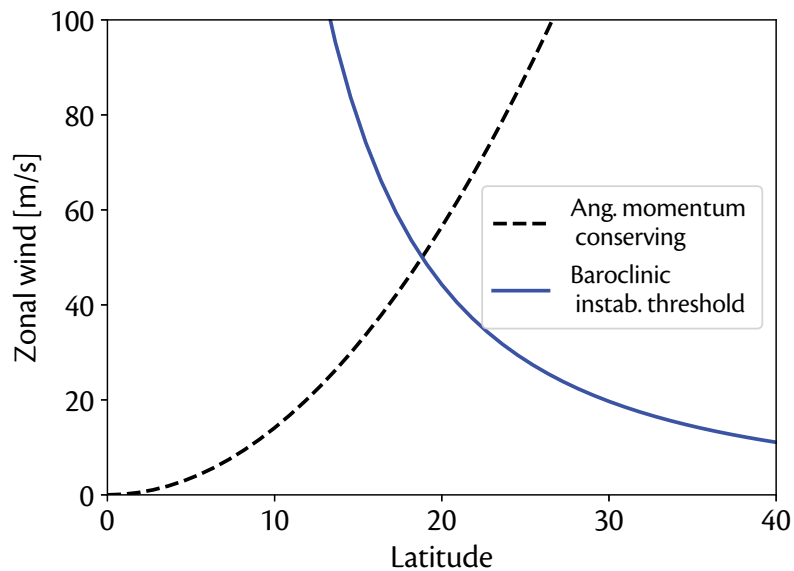
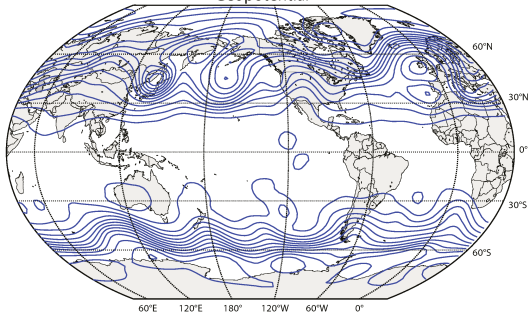


Fig. 11.7:



Geopotential



Temperature

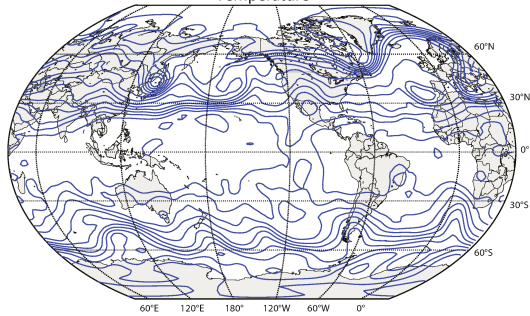


Fig. 11.8:

Zonal wind

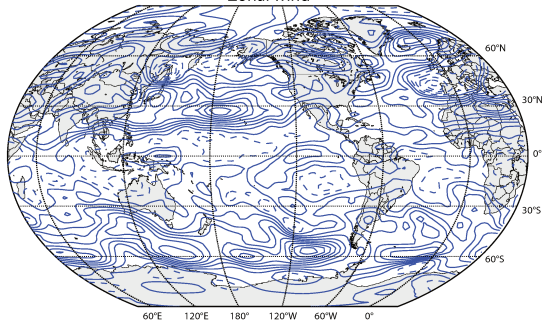


Fig. 11.9:

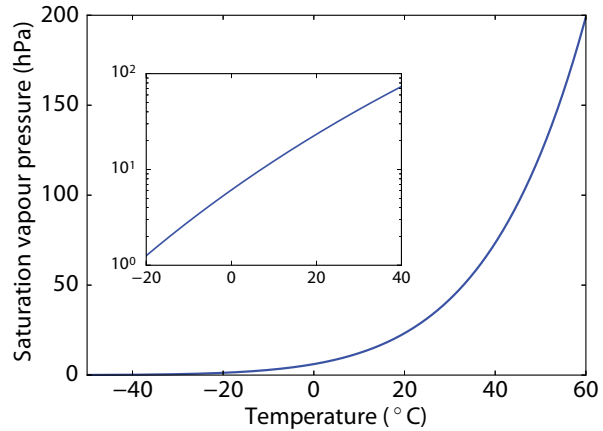


Fig. 11.10:

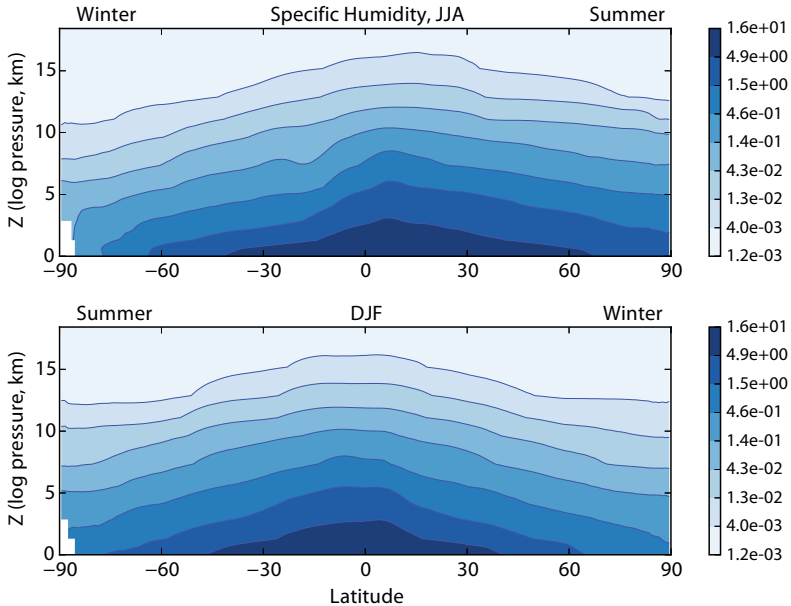


Fig. 11.11:

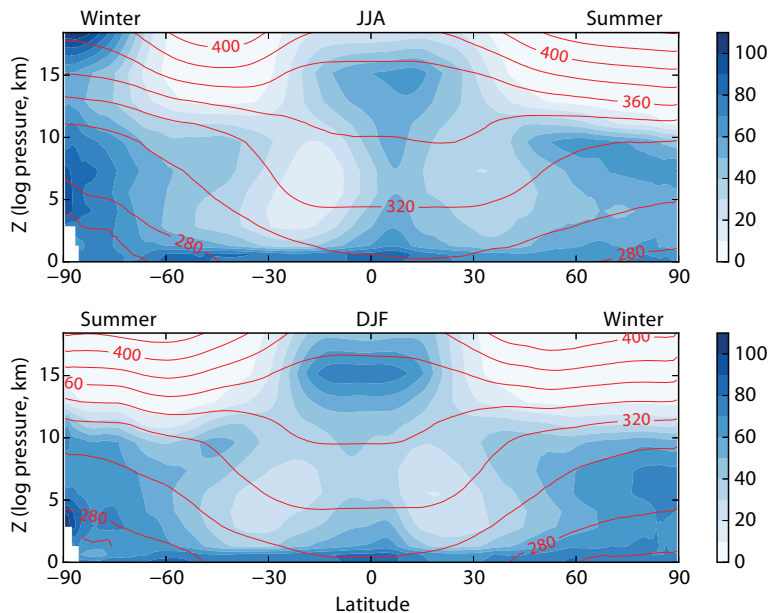
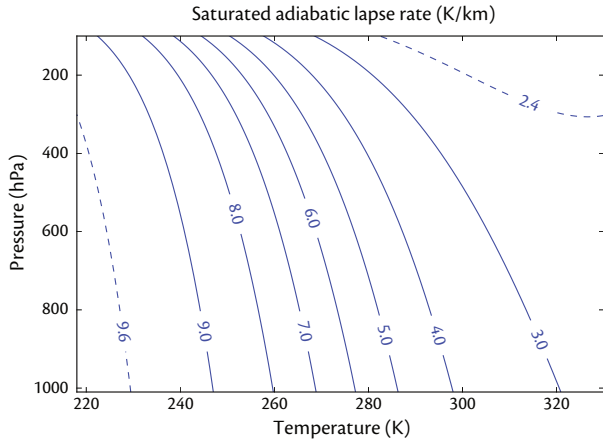


Fig. 11.12:



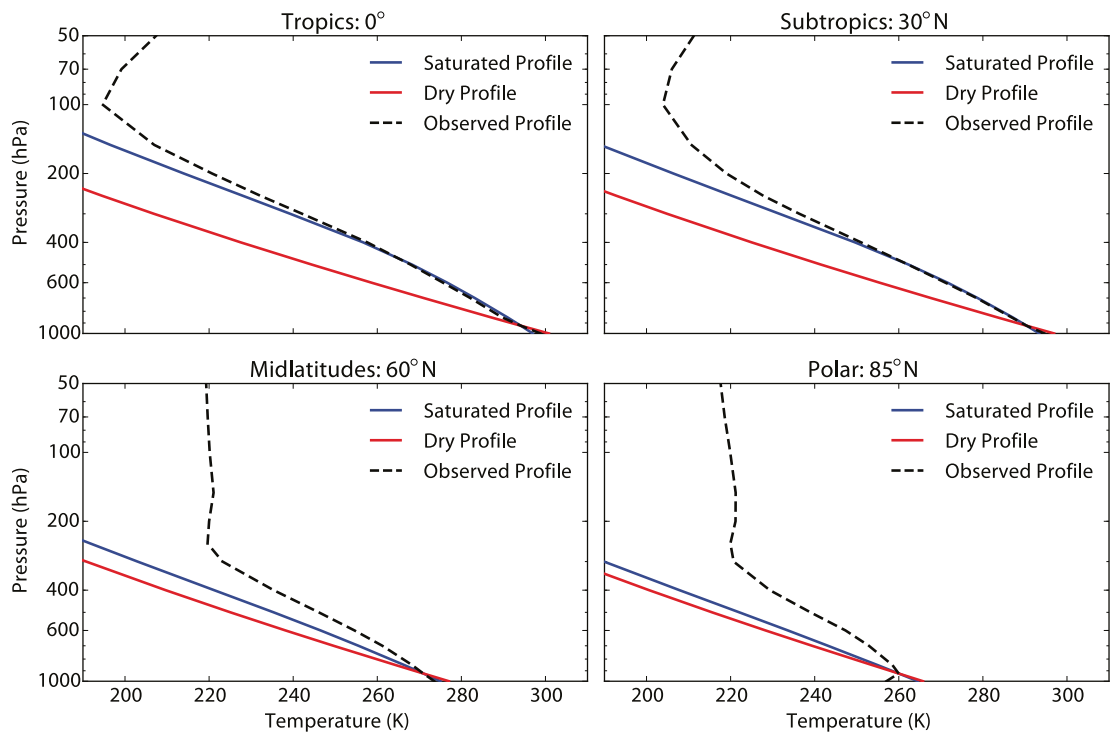


Fig. 11.13:

Fig. 11.14:

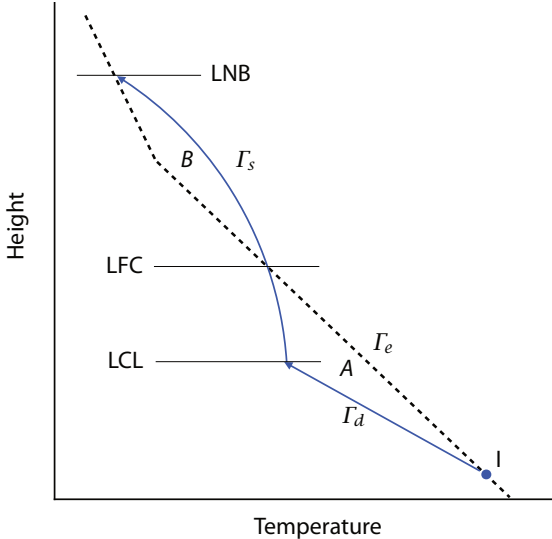


Fig. 12.1:

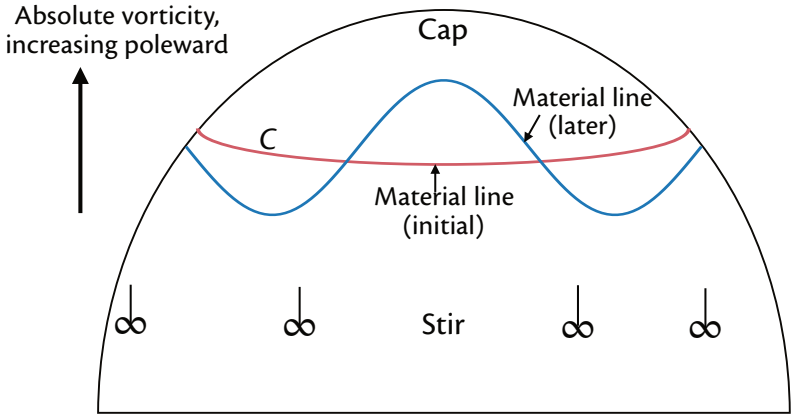


Fig. 12.2:

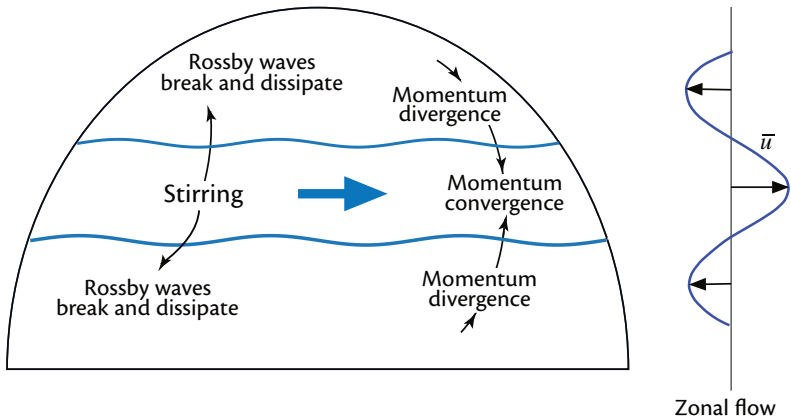


Fig. 12.3:

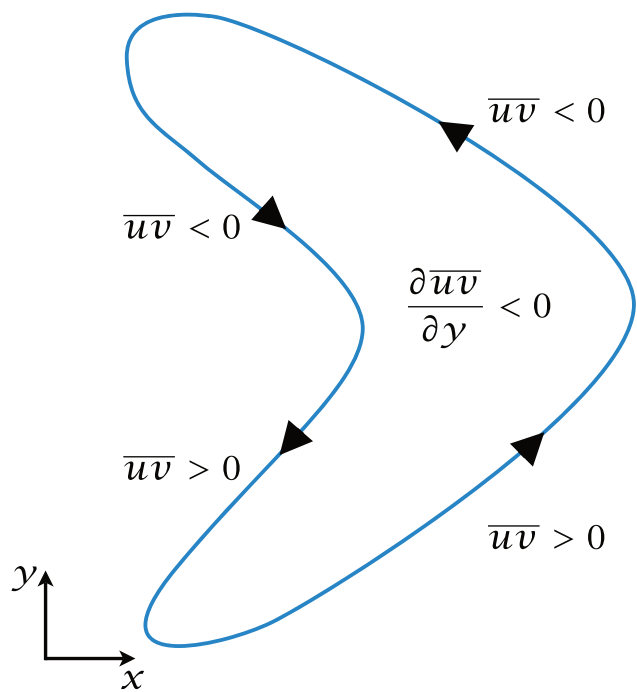


Fig. 12.4:

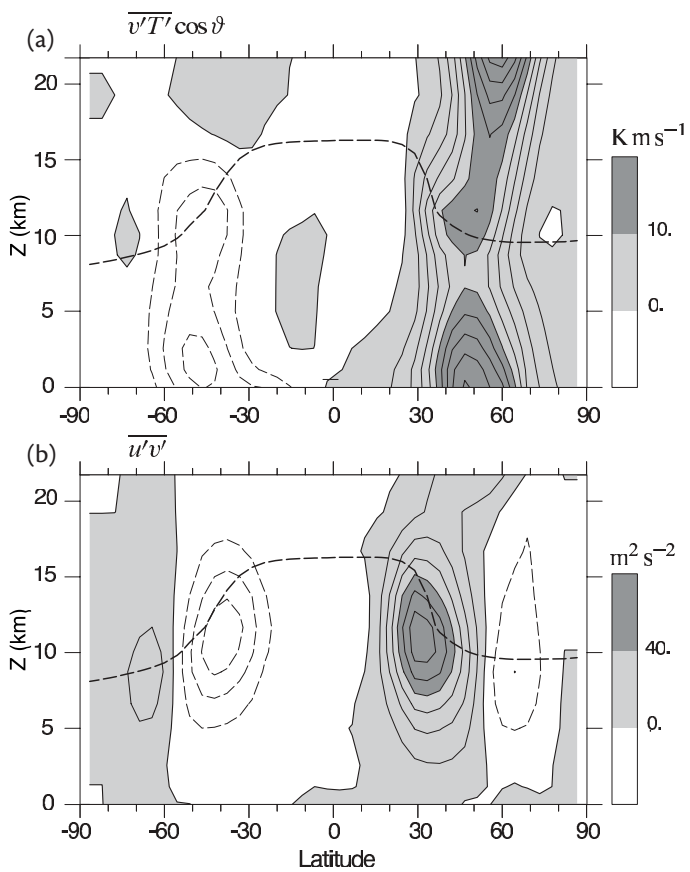
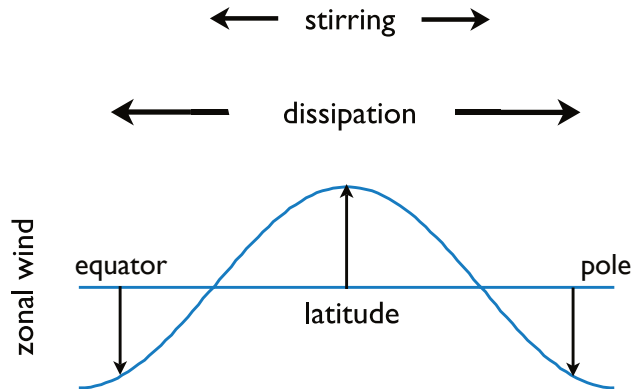


Fig. 12.5:



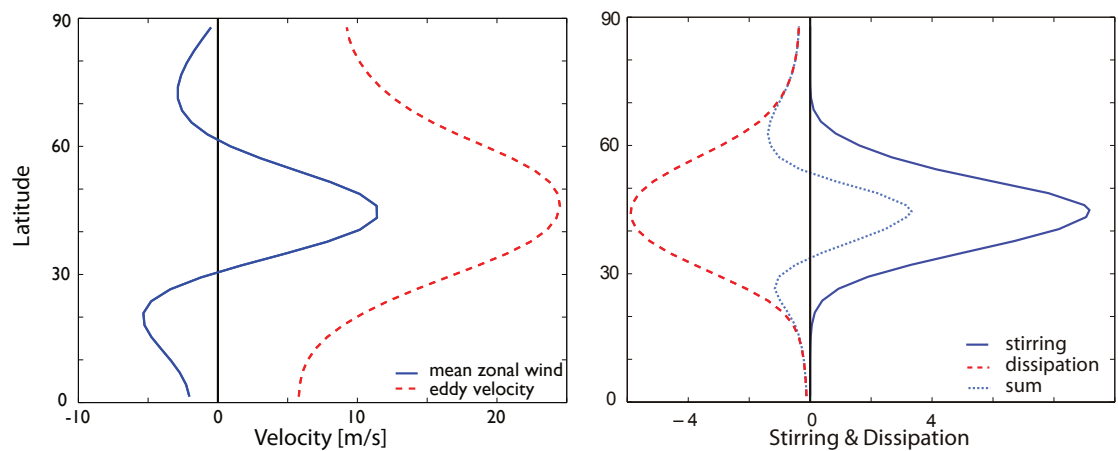
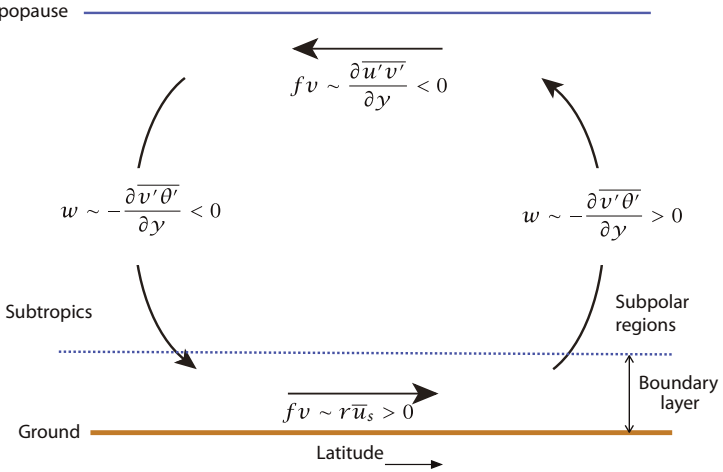


Fig. 12.6:

Fig. 12.7:



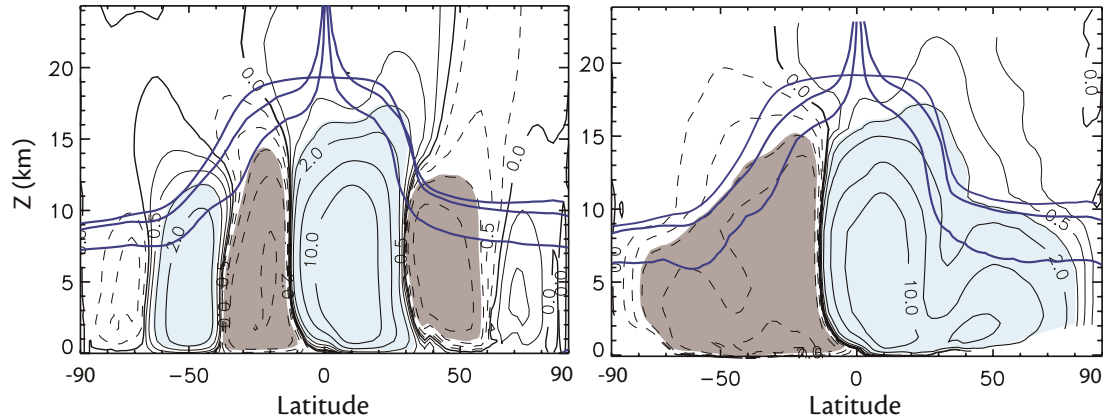


Fig. 12.8:

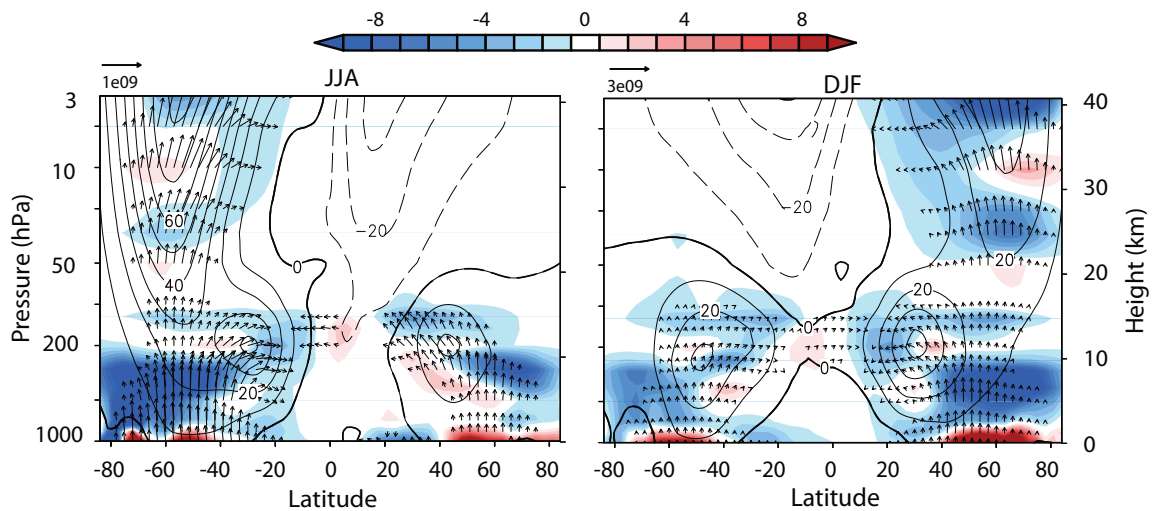


Fig. 12.9:

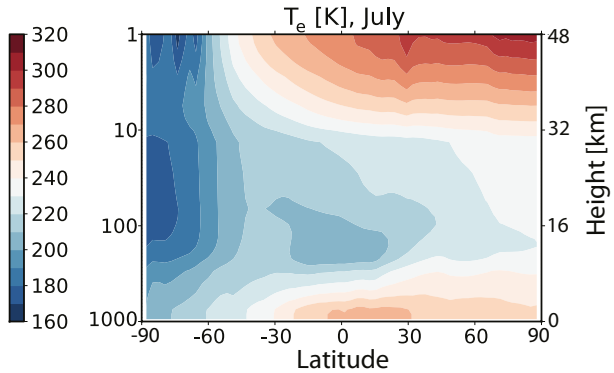
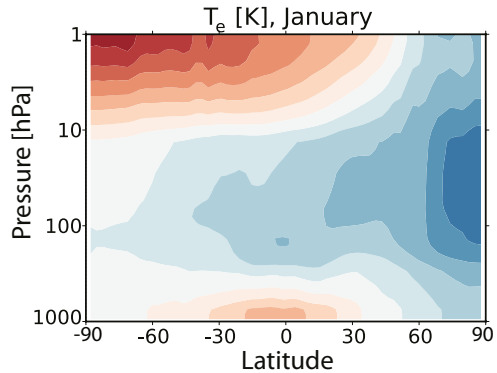
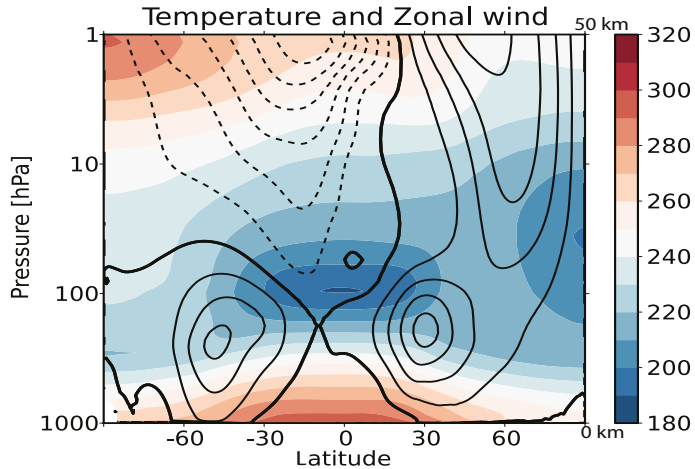


Fig. 12.10:

Fig. 12.11:



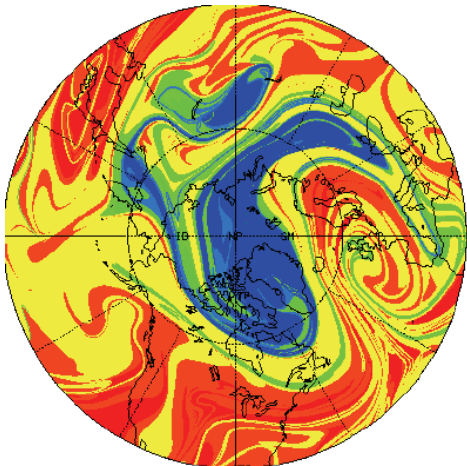


Fig. 12.12:

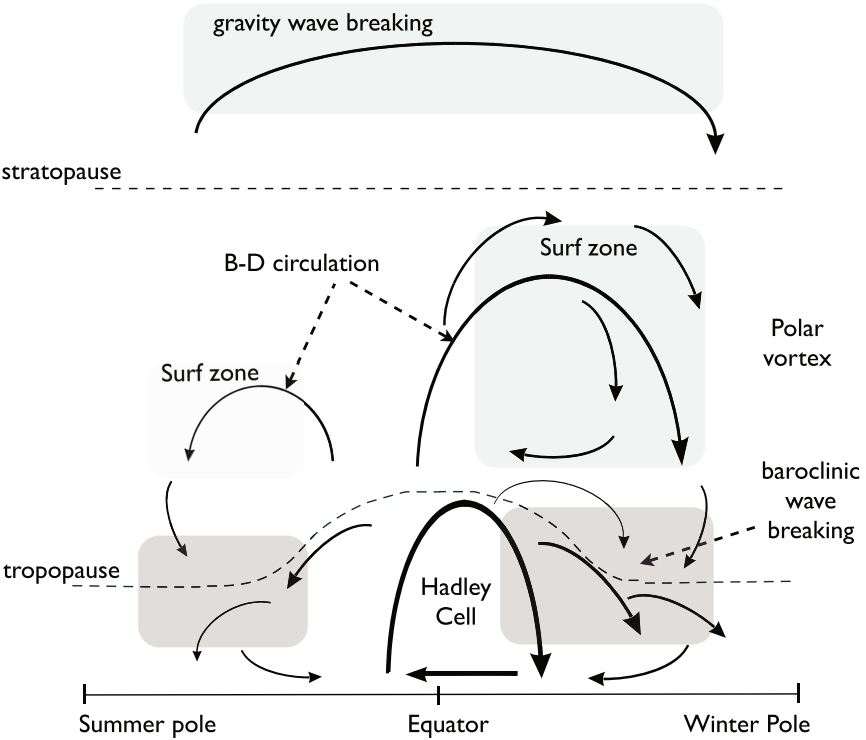
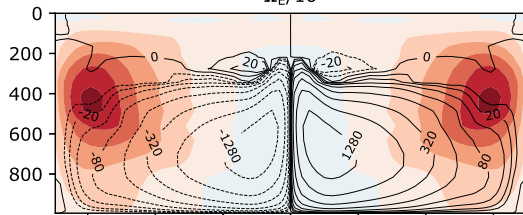
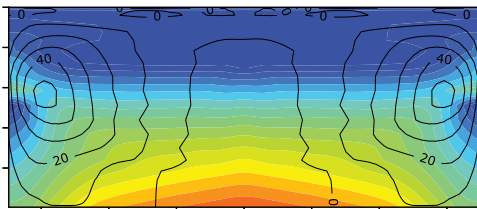
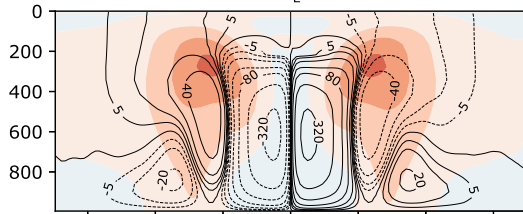
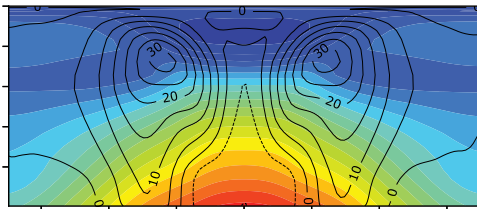
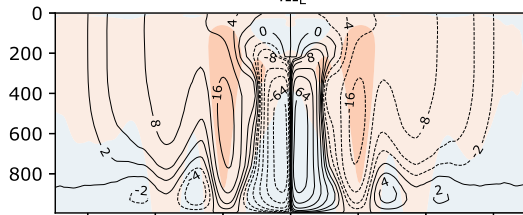
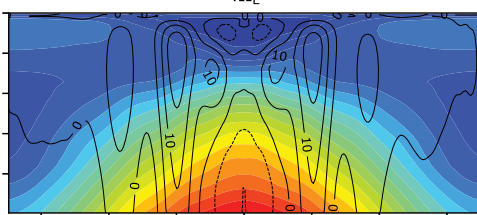


Fig. 12.13:

Zonal Wind and MOC

 $\Omega_E/16$ 

Temperature and Zonal Wind

 $\Omega_E/16$  Ω_E  Ω_E  $4\Omega_E$  $4\Omega_E$ 

Latitude

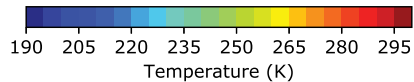
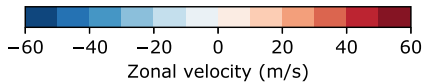


Fig. 13.1:

$\Omega_E/2$

$4\Omega_E$

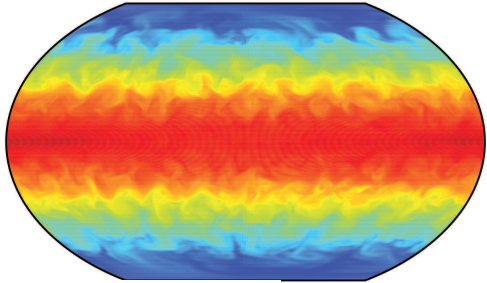
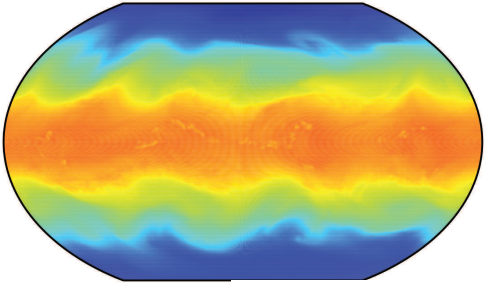


Fig. 13.2:

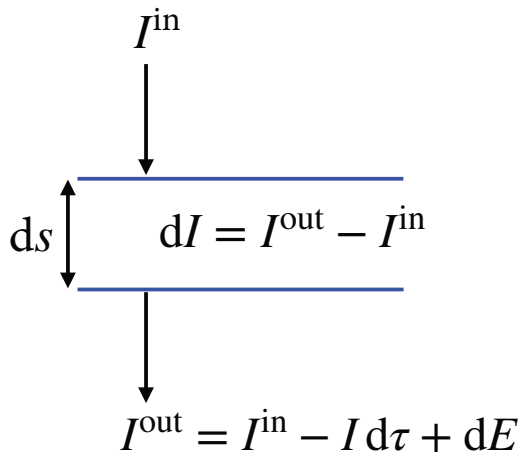
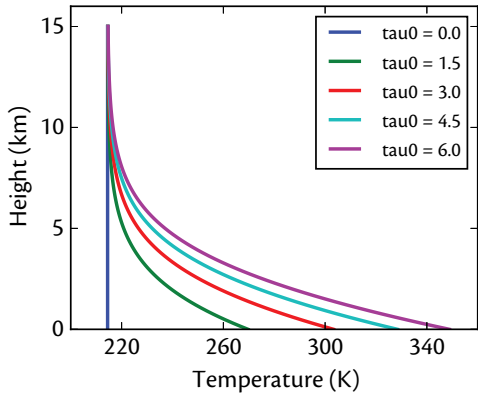


Fig. 13.3:

Varying optical depth



Varying outgoing IR

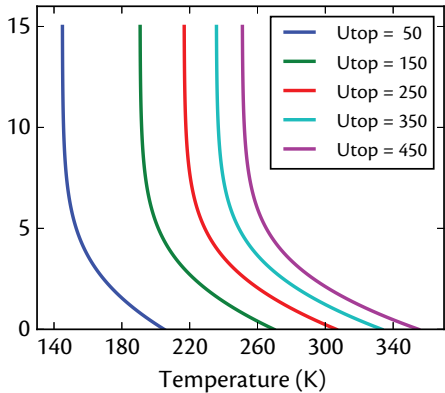


Fig. 13.4:

Fig. 13.5:

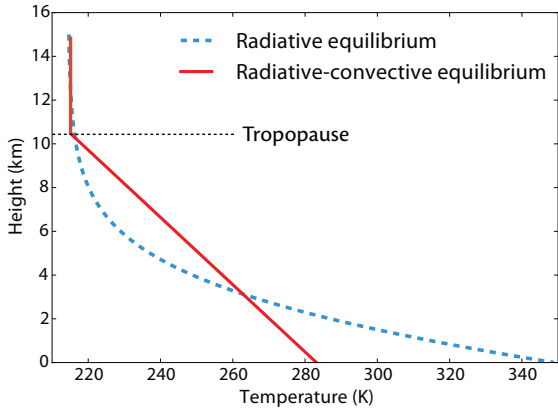


Fig. 13.6:

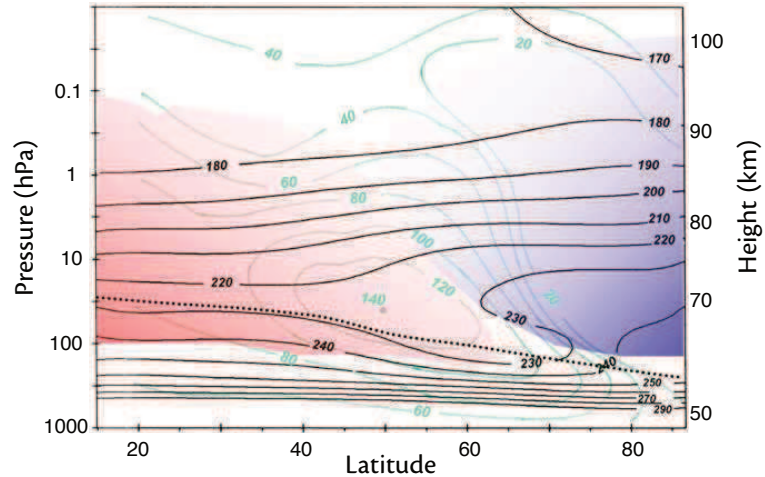
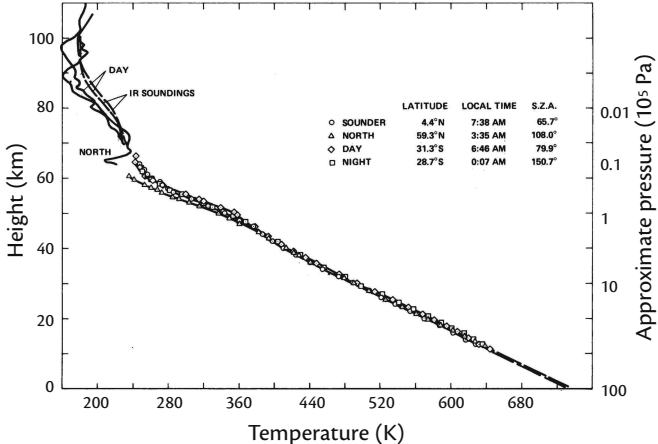


Fig. 13.7:



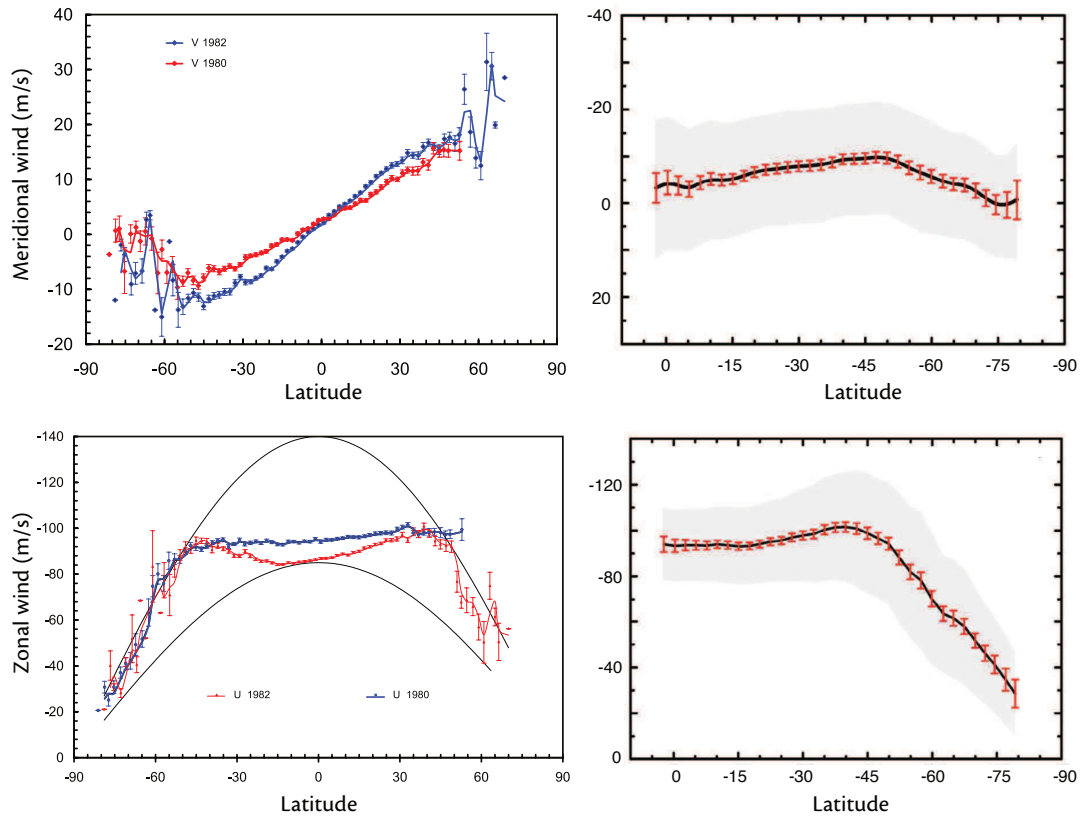
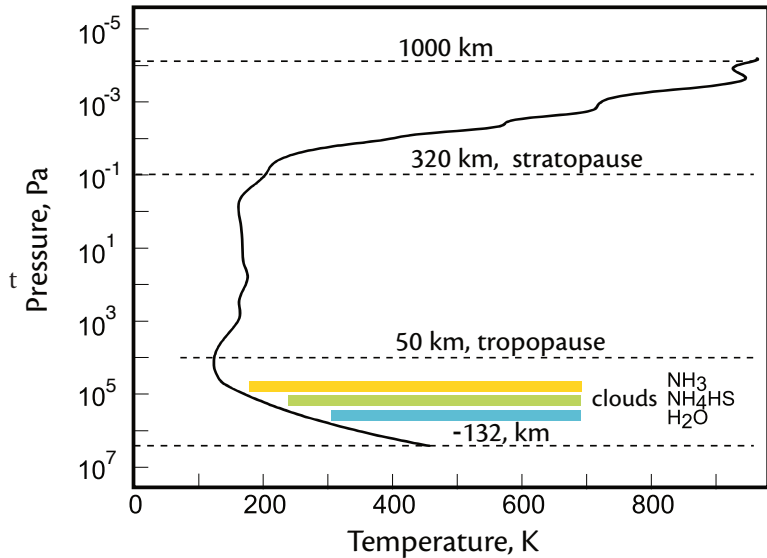


Fig. 13.8:

Fig. 13.9:



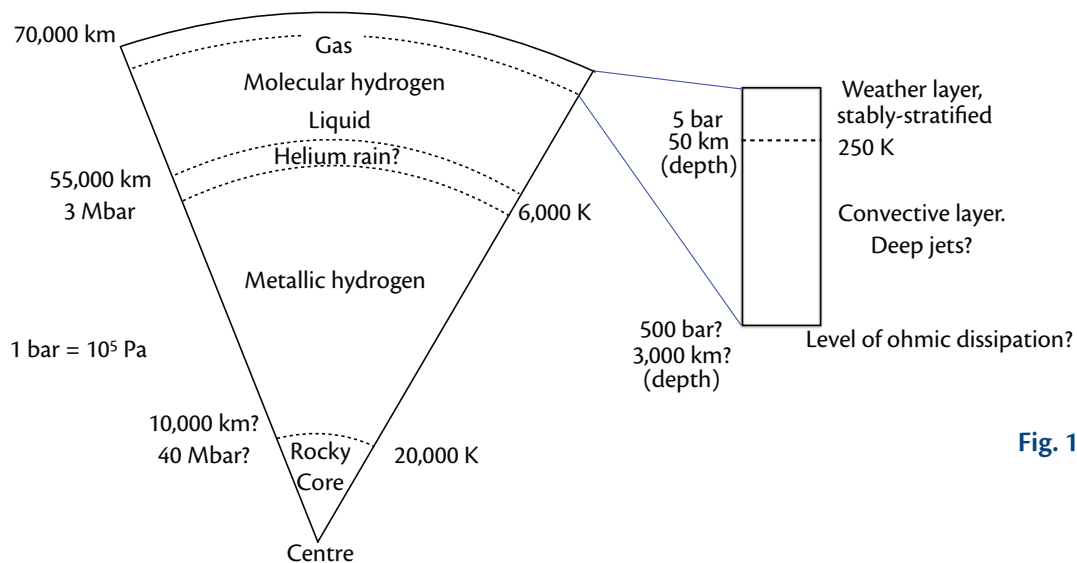


Fig. 13.10:

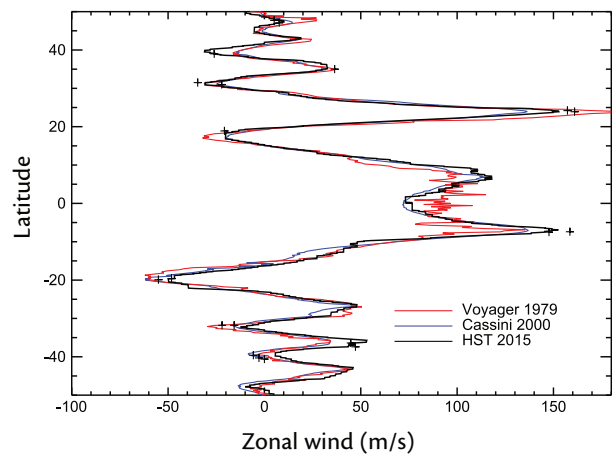


Fig. 13.11:

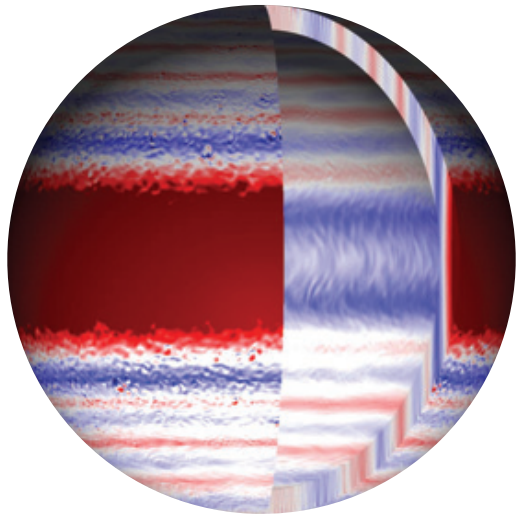
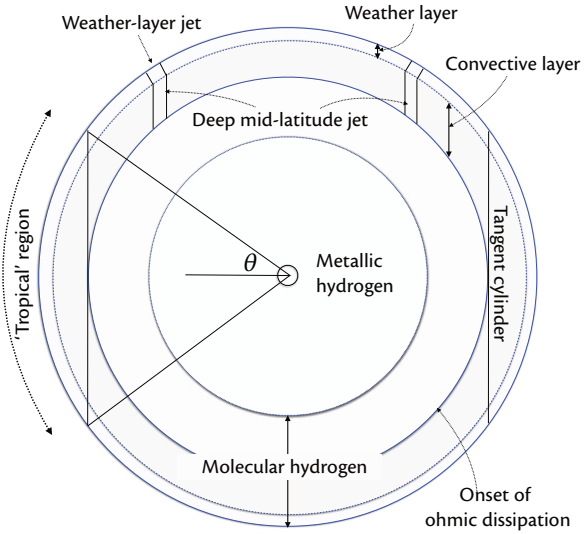
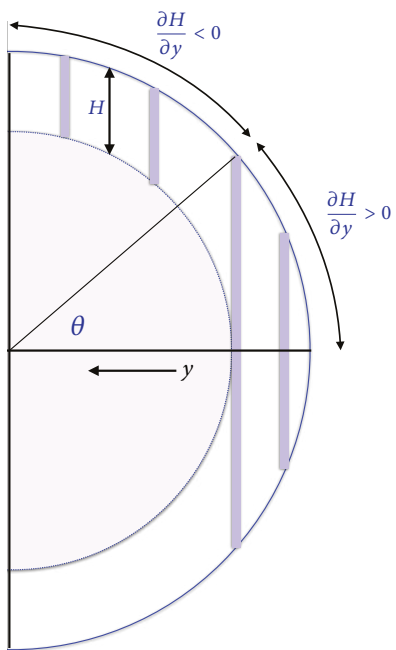
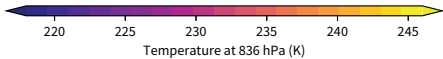
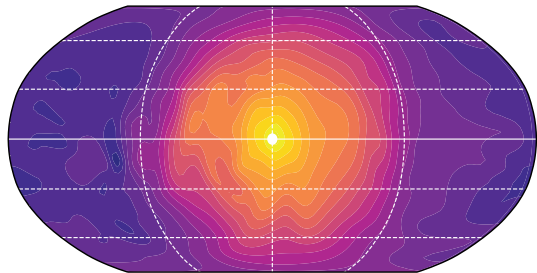


Fig. 13.12:

Fig. 13.13:



$$\Omega = 0.1 \times 10^{-5} \text{ s}^{-1}$$



$$\Omega = 10 \times 10^{-5} \text{ s}^{-1}$$

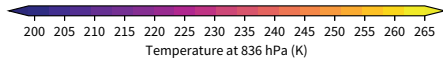
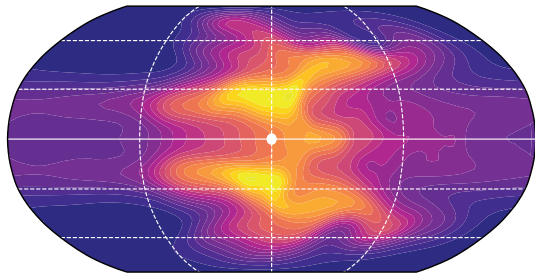


Fig. 13.14:

Fig. 14.1:

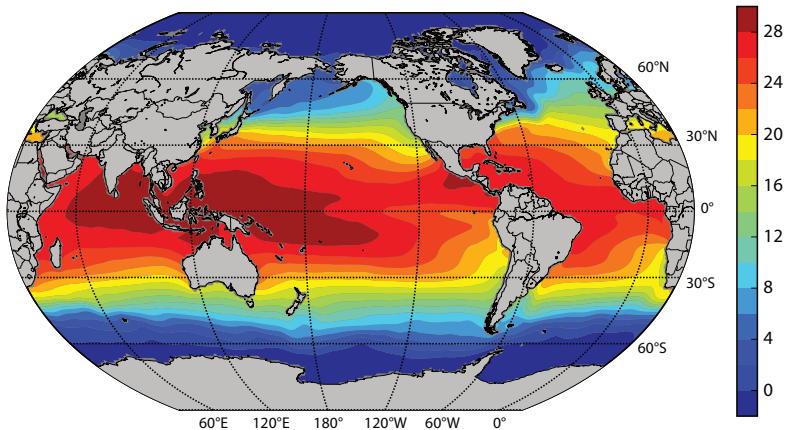
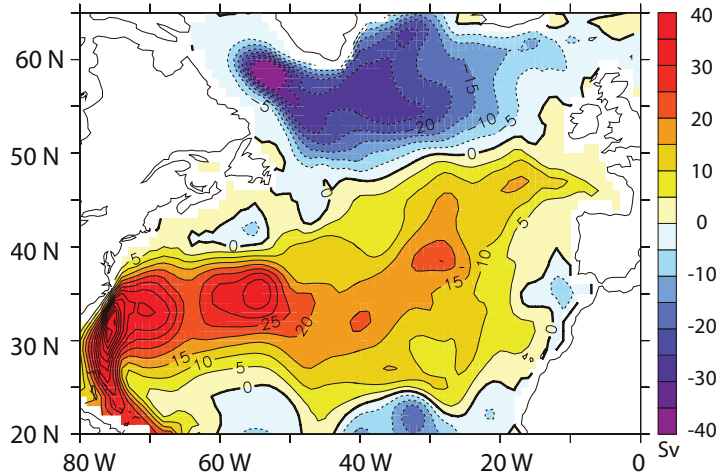


Fig. 14.2:



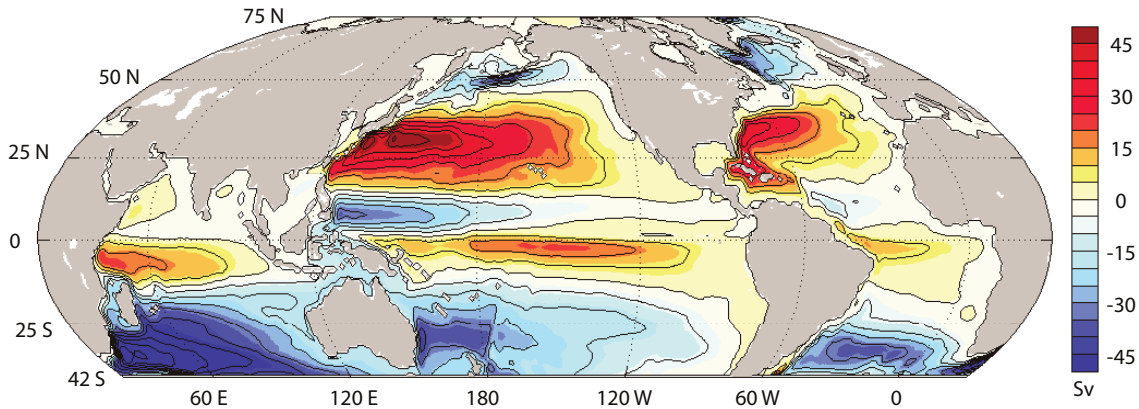
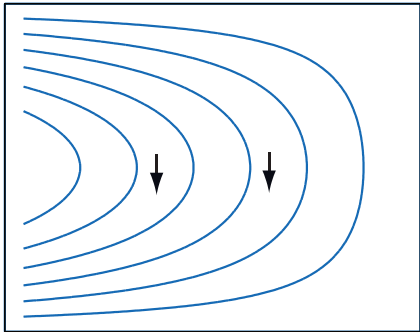
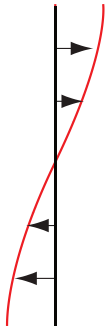


Fig. 14.3:

Western boundary layer



Wind stress



Eastern boundary layer

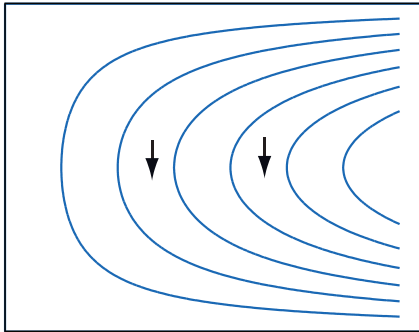
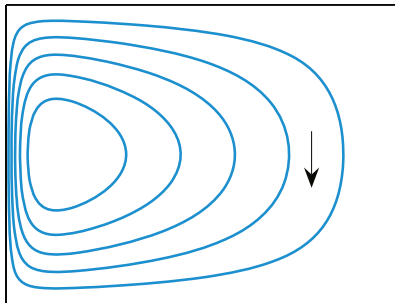


Fig. 14.4:

Fig. 14.5:

Streamfunction



Wind stress

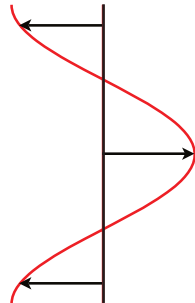
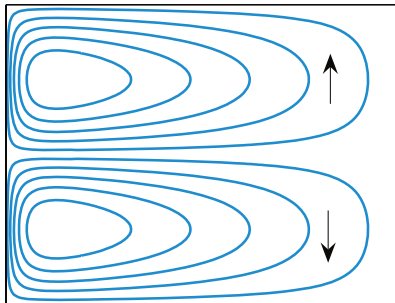
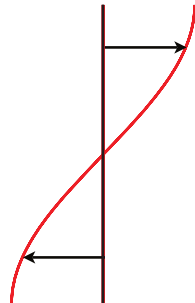


Fig. 14.6:

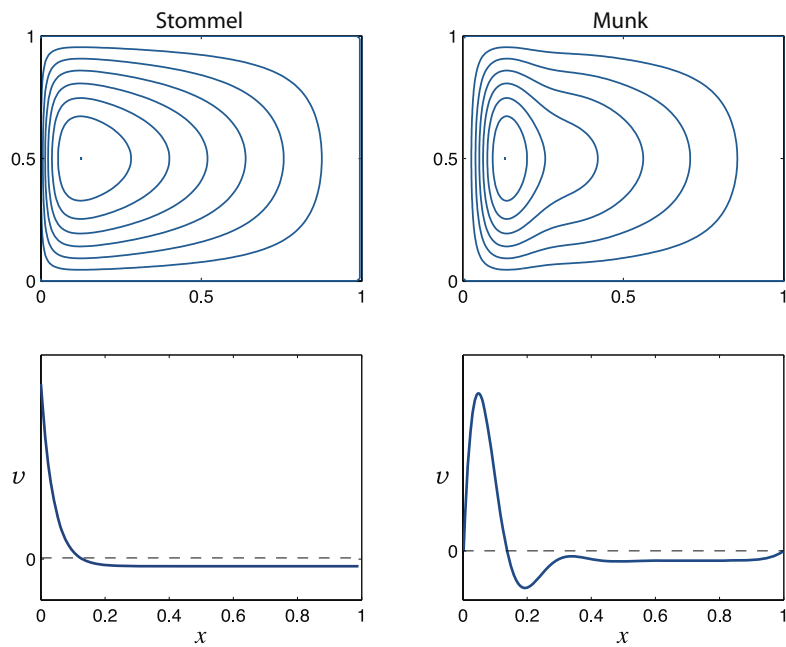
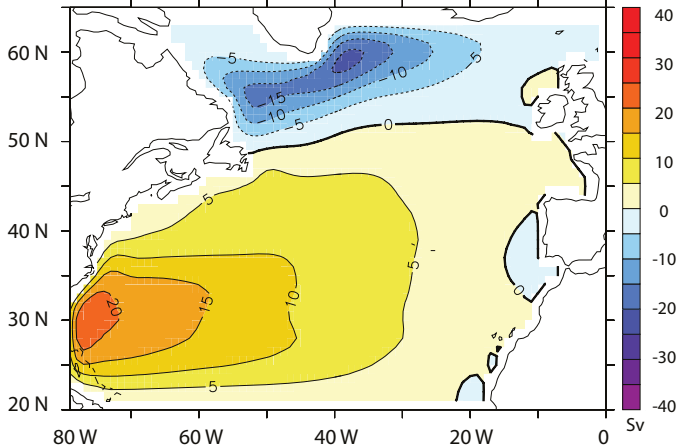
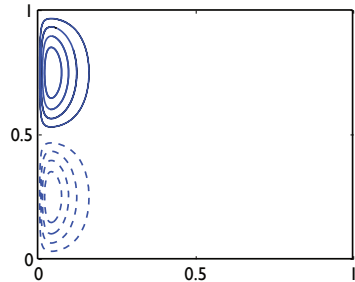


Fig. 14.7:



Perturbation



Stommel + Perturbation

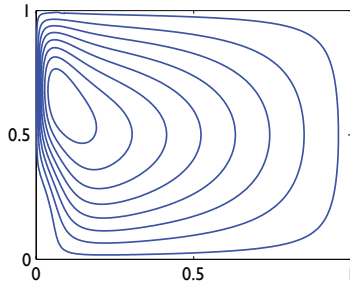


Fig. 14.8:

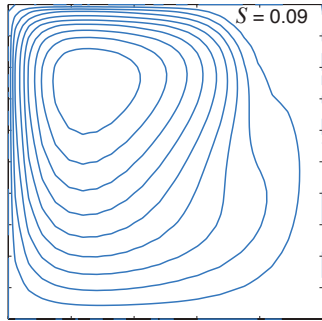
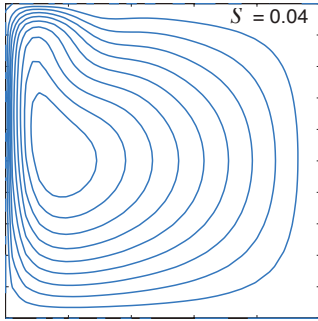
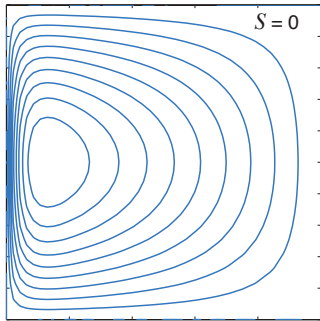
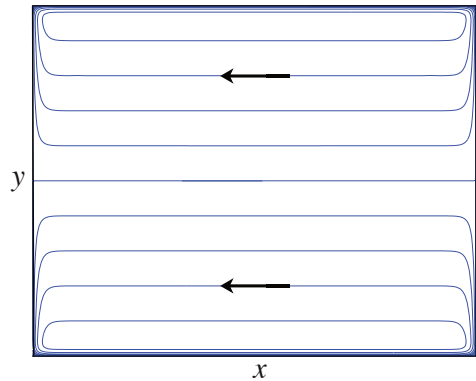


Fig. 14.9:

Fig. 14.10:



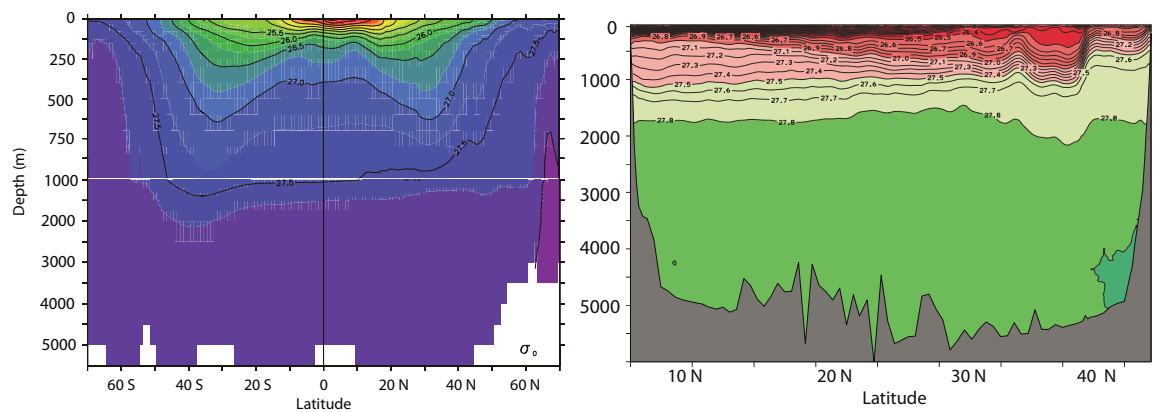


Fig. 15.1:

Fig. 15.2:

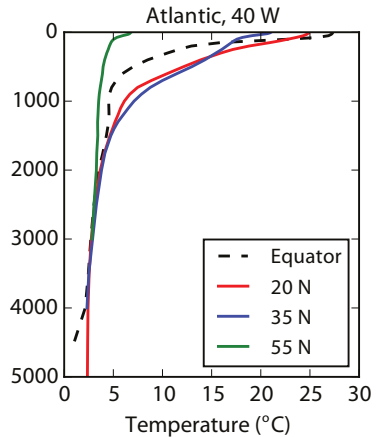
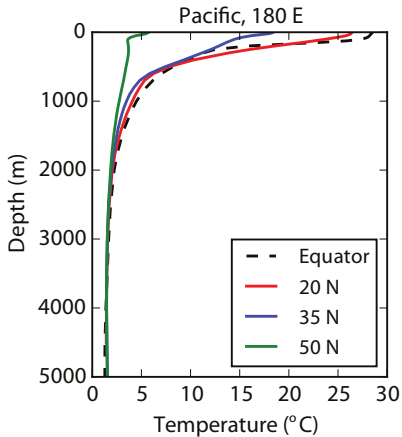


Fig. 15.3:

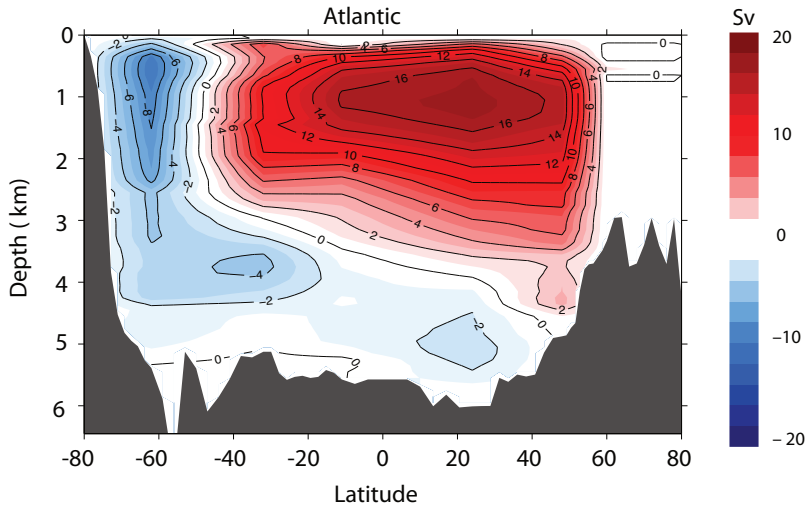


Fig. 15.4:

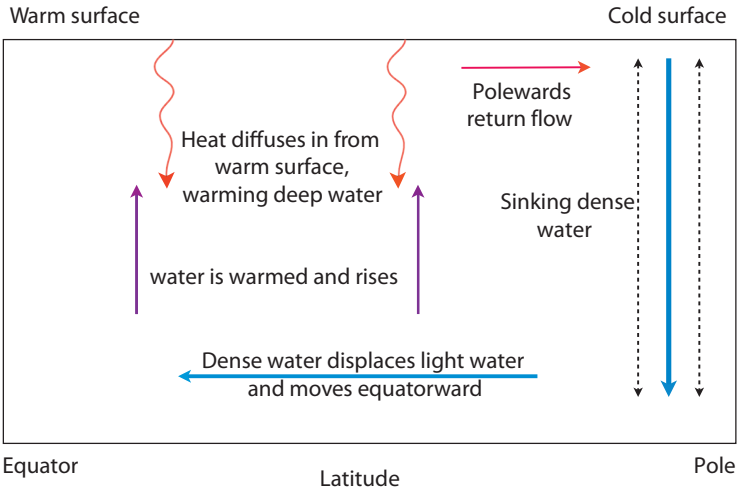


Fig. 15.5:

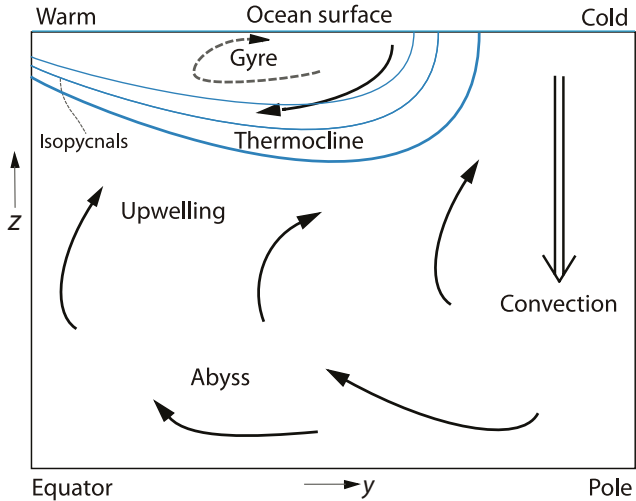


Fig. 15.6:

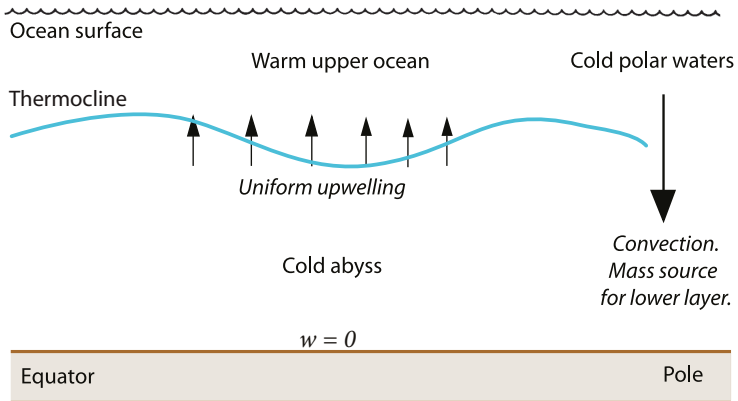


Fig. 15.7:

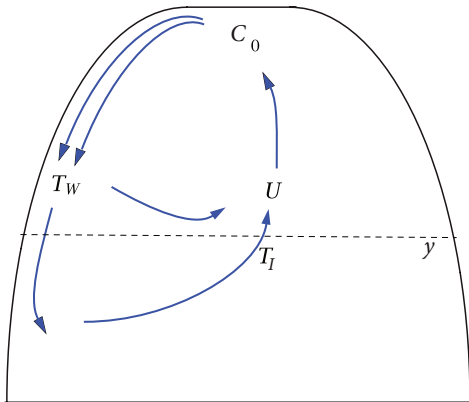


Fig. 15.8:

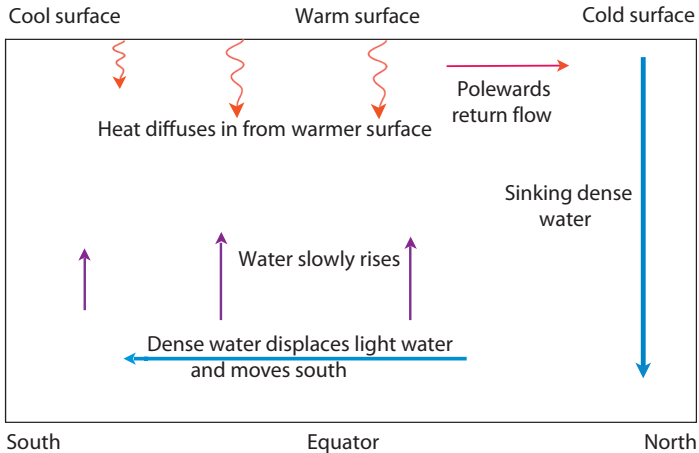


Fig. 15.9:



Fig. 15.10:

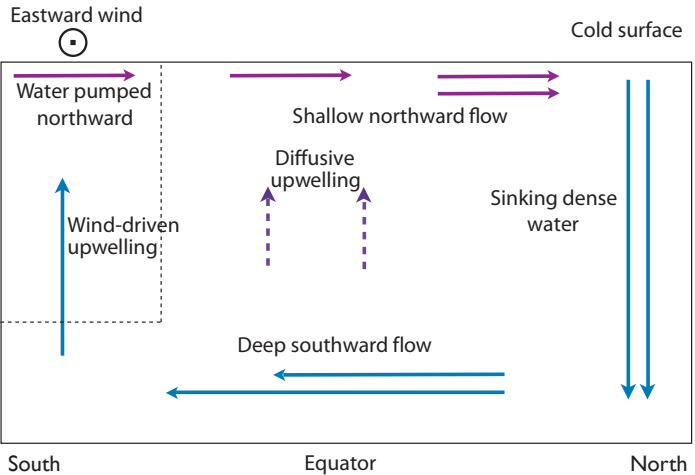
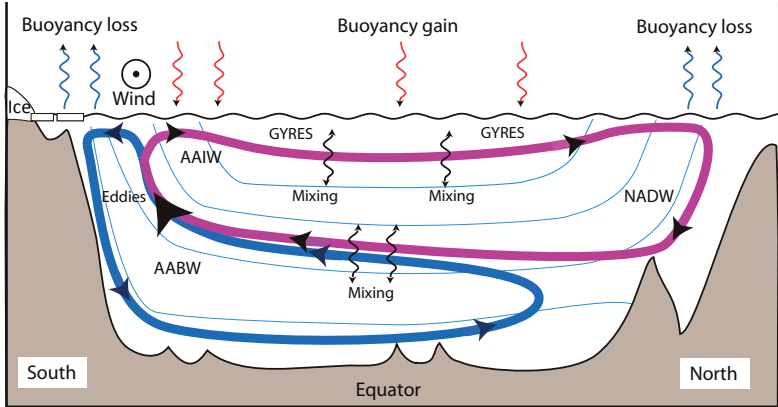


Fig. 15.11:



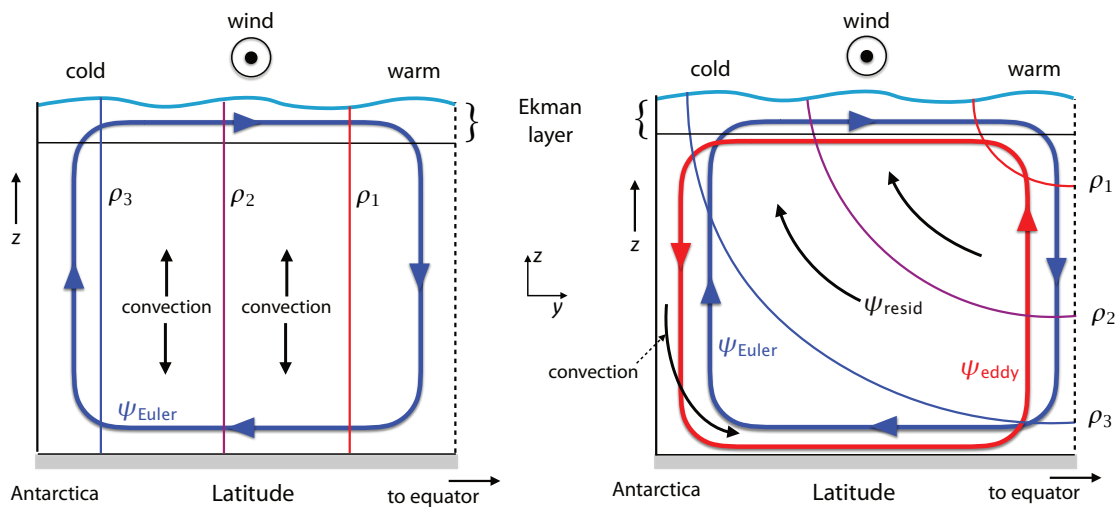


Fig. 15.12:

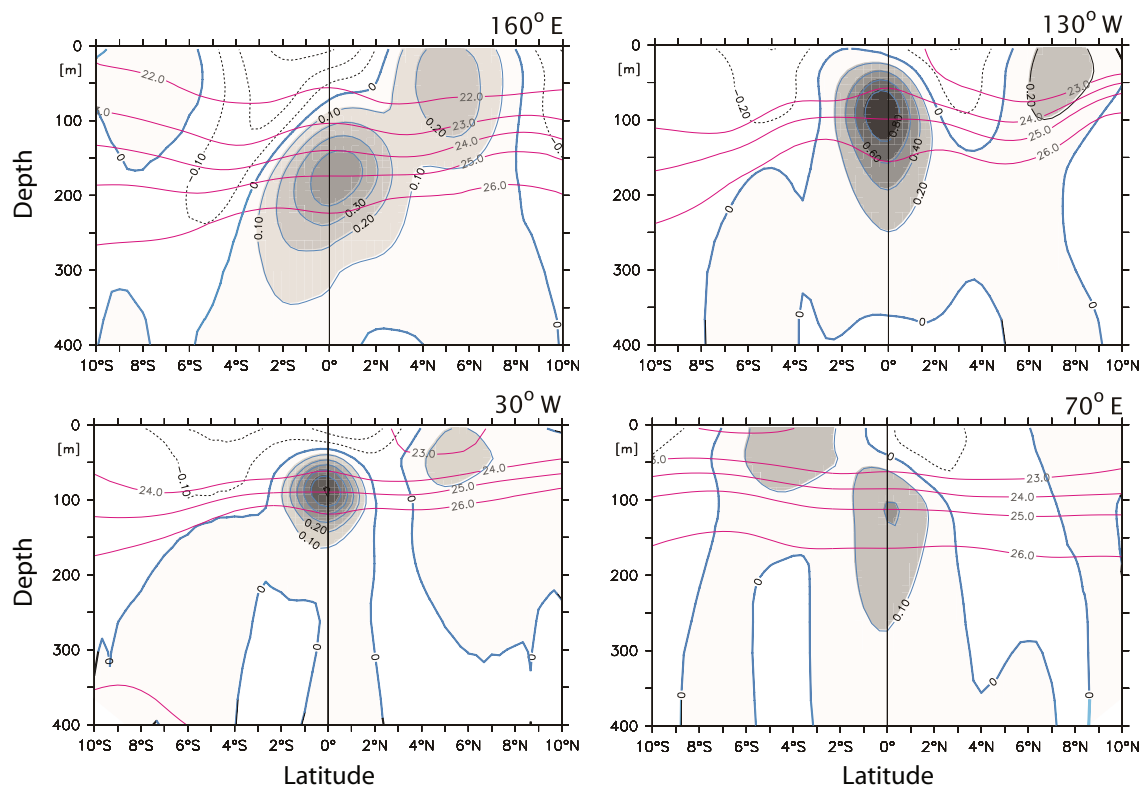


Fig. 16.1:

Fig. 16.2:

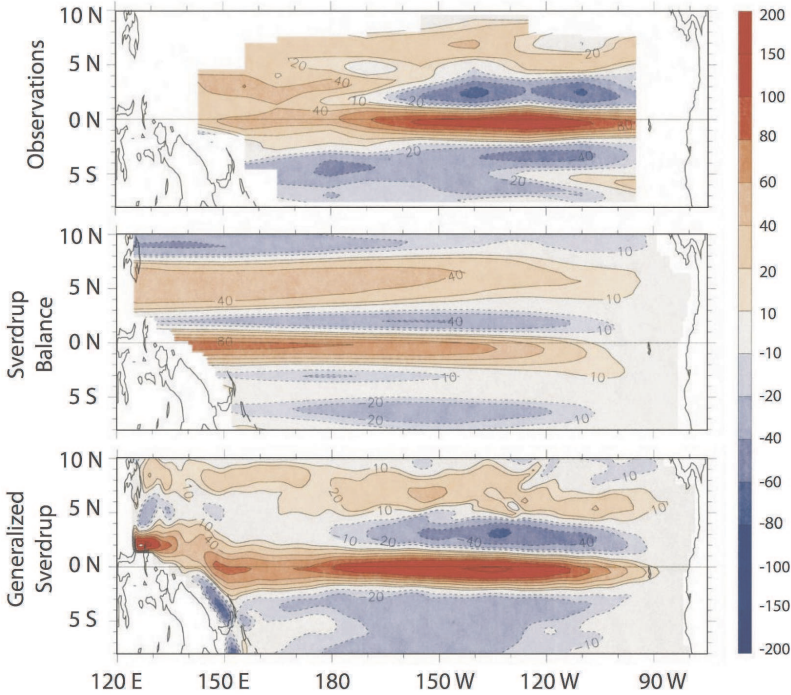
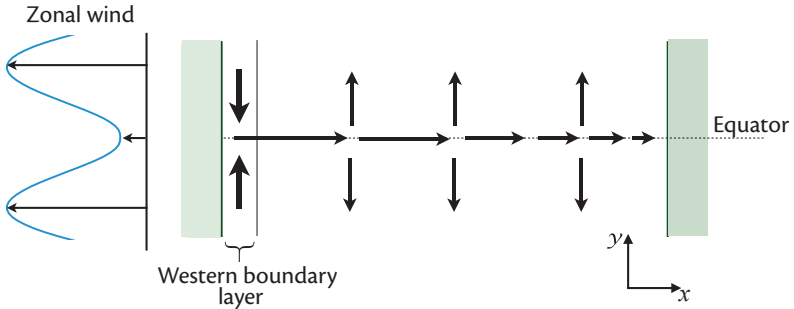


Fig. 16.3:



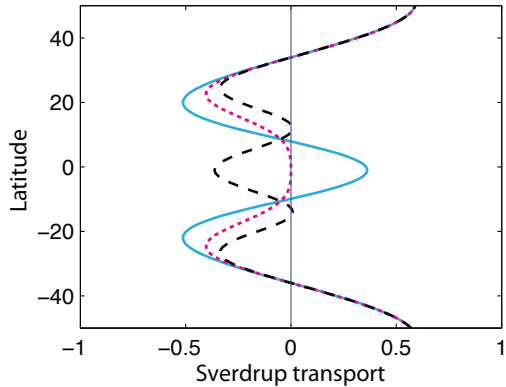
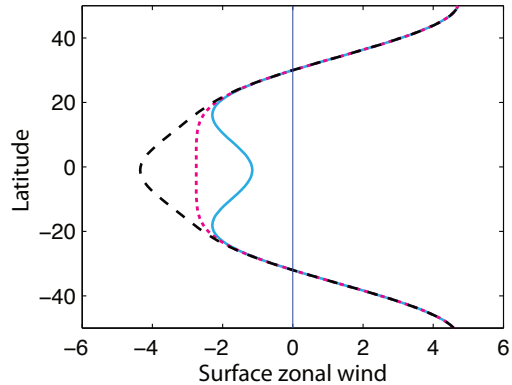
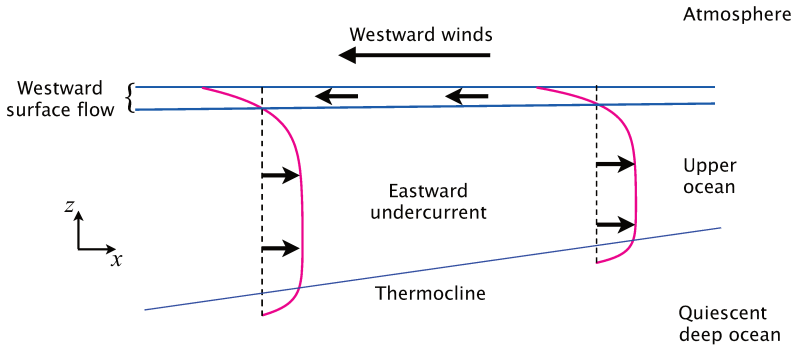


Fig. 16.4:

Fig. 16.5:



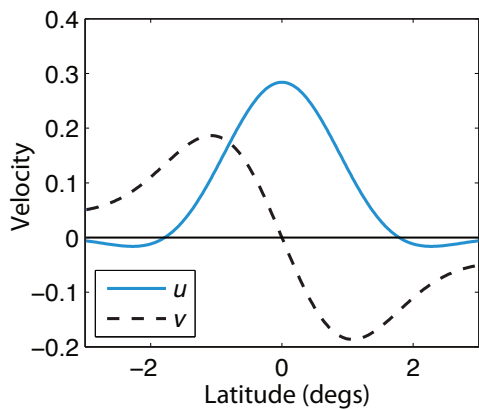
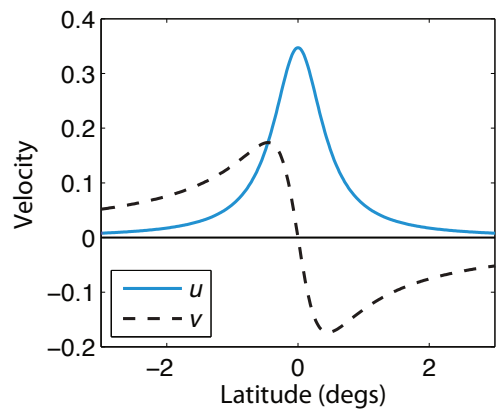


Fig. 16.6:

Fig. 16.7:

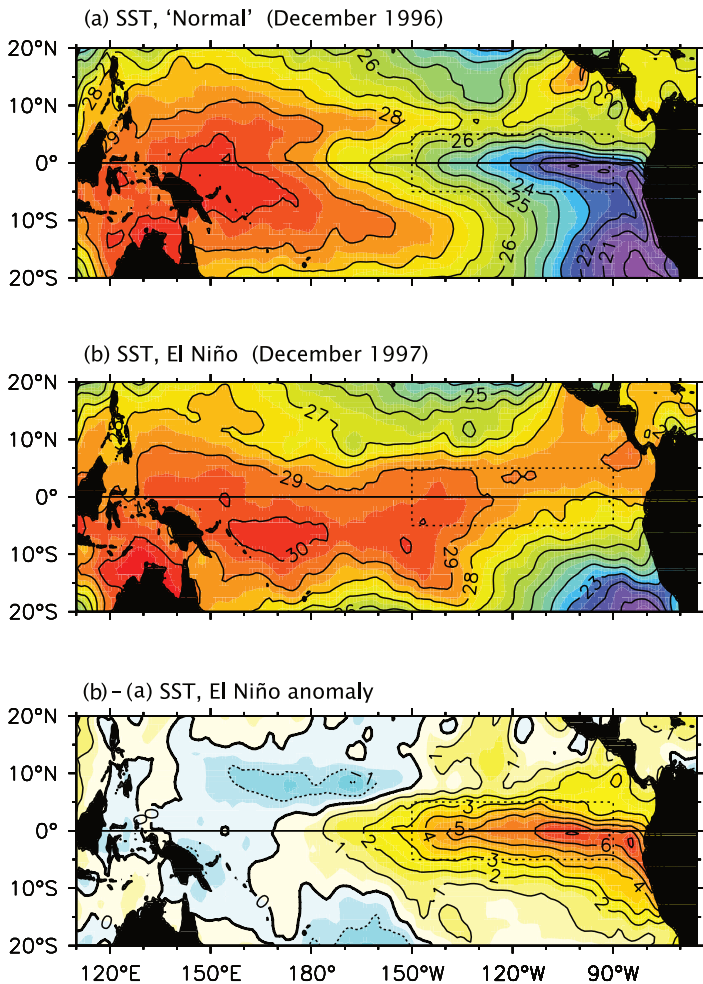


Fig. 16.8:

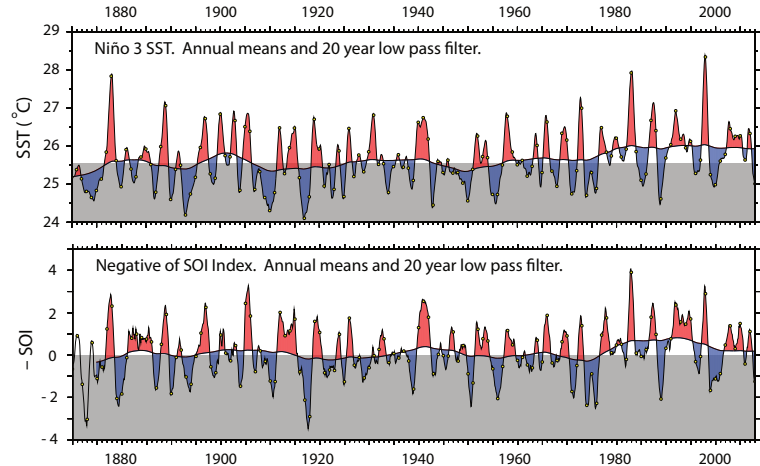


Fig. 16.9:

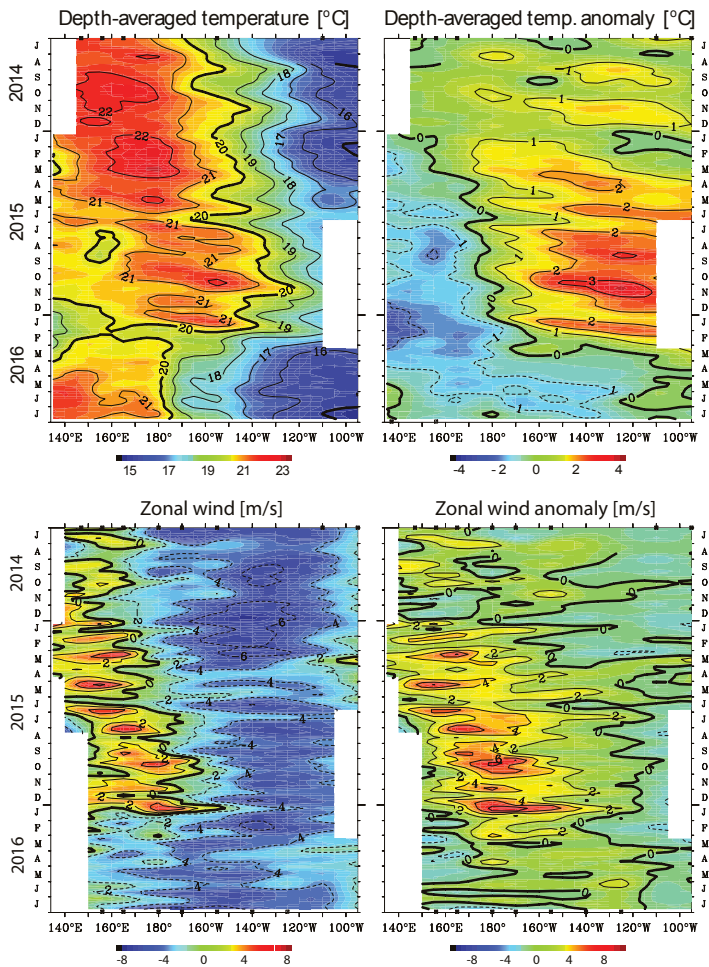


Fig. 16.10:

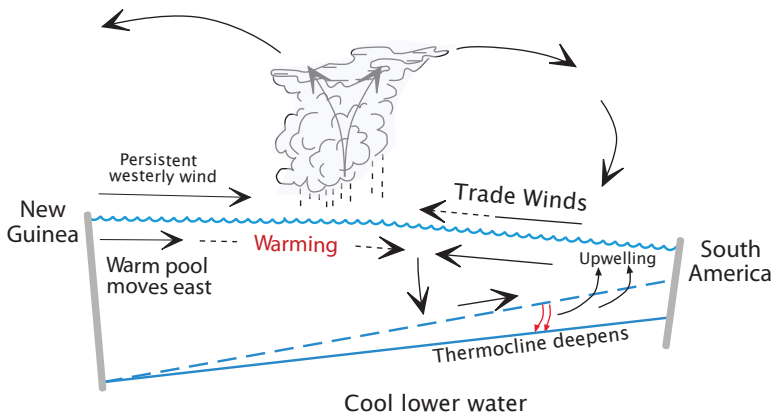
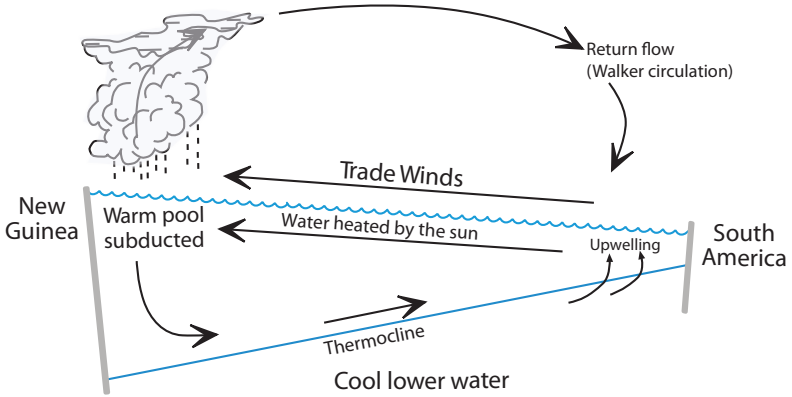
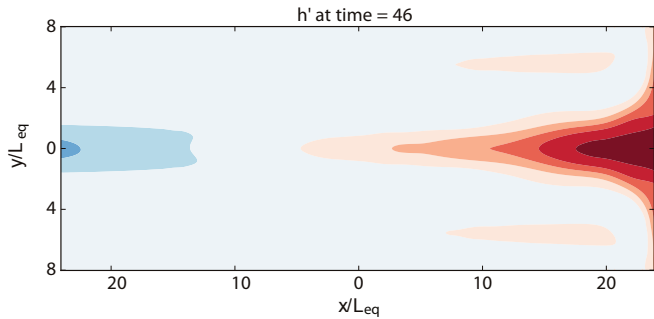
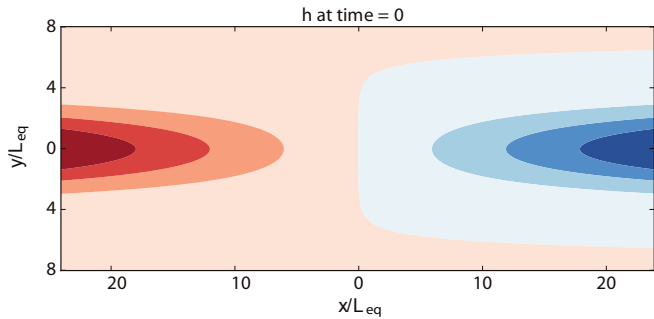


Fig. 16.11:



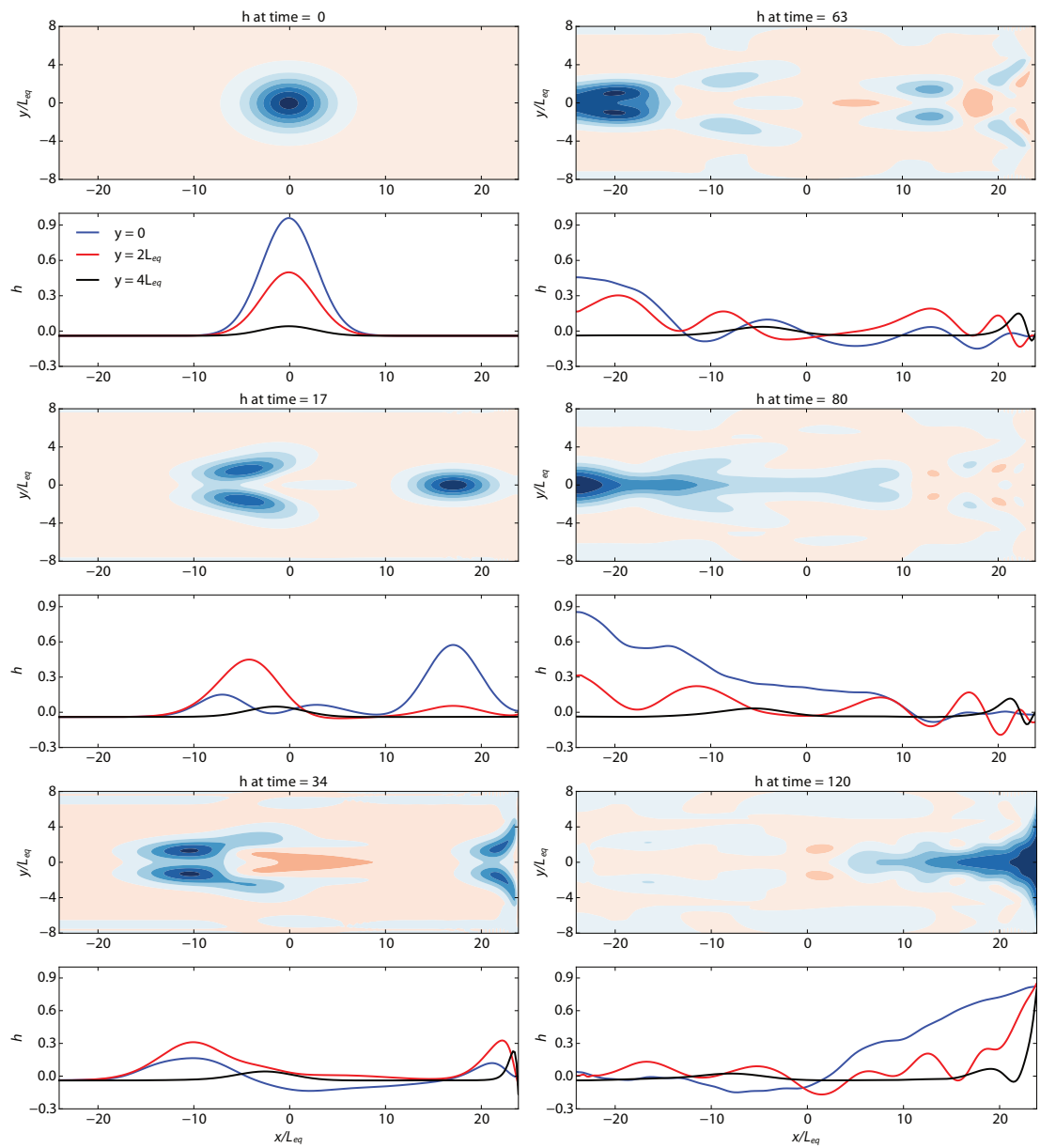


Fig. 16.12:

Fig. 16.13:

